



Национальный исследовательский  
Томский политехнический университет

# Механика 1.3

3.09.24;

Лектор - Козлов Виктор Николаевич,  
доцент отделения машиностроения ИШНПТ

моб. тел. +7-913-812-58-34, [kovn@tpu.ru](mailto:kovn@tpu.ru)

**ВКС** 380 440 5794, **Пароль:** 1DepTr

Лекции – 24 часа,

**практические занятия** – 32 часа,

88 часов самостоятельной работы,

**расчётно-графические работы (РГР)**

всего 144 ч., 4 кредита. **Экзамен**

### 3.6.8 Расчеты при растяжении (сжатии)

#### 1. Расчеты на прочность

$$\sigma_{p(c)} = F/A \leq \sigma_{p(c)p} \cdot [\sigma_B] [\sigma_{-B}]$$

где  $\sigma_{p(c)}$  – фактическое напряжение на растяжение или сжатие;  $\sigma_{p(c)p}$  – допускаемое напряжение на растяжение или сжатие. Это неравенство называется **условием прочности**. С его помощью могут быть решены задачи следующих **трех типов**.

**2. Определение предельной (допускаемой) нагрузки** для детали с определенными размерами **поперечного сечения**  $A$  и **допускаемым** напряжением  $\sigma_p$ :  $F_p \leq A \cdot \sigma_p$ .

Группа сталей	Марка стали	Механические характеристики					
		$\sigma_B$ , МПа	$\sigma_T$ , МПа	$\sigma_{-1p}$ , МПа	$\sigma_{-1}$ , МПа	$\tau_{-1}$ , МПа	НВ
Углеродистые стали качественные	10	340-420	210	120-150	160-220	80-120	137
	20	420-500	250	120-160	170-220	100-130	156
	30	500-600	300	170-210	200-270	110-140	179
	40	580-700	340	180-240	230-320	140-190	187-217
	45	610-750	360	190-250	250-340	150-200	197-241
	50	640-800	380	200-260	270-350	160-210	207-241

$$A_1 = (\pi \cdot d_1^2) / 4 = (\pi \cdot 20^2) / 4 = 314 \text{ мм}^2; F_{1 \max} = \sigma_T \cdot A_1 = 360 \cdot 314 = 1130097 \text{ Н} = 113 \text{ кН.}$$

$$A_2 = (\pi \cdot d_2^2) / 4 = (\pi \cdot 30^2) / 4 = 707 \text{ мм}^2; F_{2 \max} = \sigma_T \cdot A_2 = 360 \cdot 707 = 254469 \text{ Н} = 254 \text{ кН.}$$

#### 2. Расчеты на жесткость

В некоторых случаях **работоспособность** конструкции **определяют** не величиной предельной нагрузки или предельного напряжения, а **величиной предельной деформации**  $\Delta l_p$ . В этом случае по уравнению находят фактическую деформацию и сопоставляют ее с предельной:

$$\Delta l = \frac{Fl}{EA} \leq \Delta l_p.$$

Это **неравенство** называют **условием жесткости**, а расчеты, проводимые по этому неравенству, – **расчетами на жесткость**.

**Пример** расчетов на **прочность** и **жесткость** при растяжении (сжатии)

Рассмотрим ступенчатый брус (рис. 1 а), нагруженный продольными силами  $F_1$  и  $F_2$ , для которого следует **определить во всех поперечных сечениях** бруса (стержня) внутреннюю **продольную силу**  $F_R$  (рис. 1 б) и **напряжения**  $\sigma$  (рис. 1 в), **вертикальные перемещения**  $\delta$  (рис. 1 г). Результаты привести в графическом виде, построив **графики (эпюры)**  $F_R=f(l)$ ;  $\sigma=f(l)$  и  $\delta=f(l)$ .

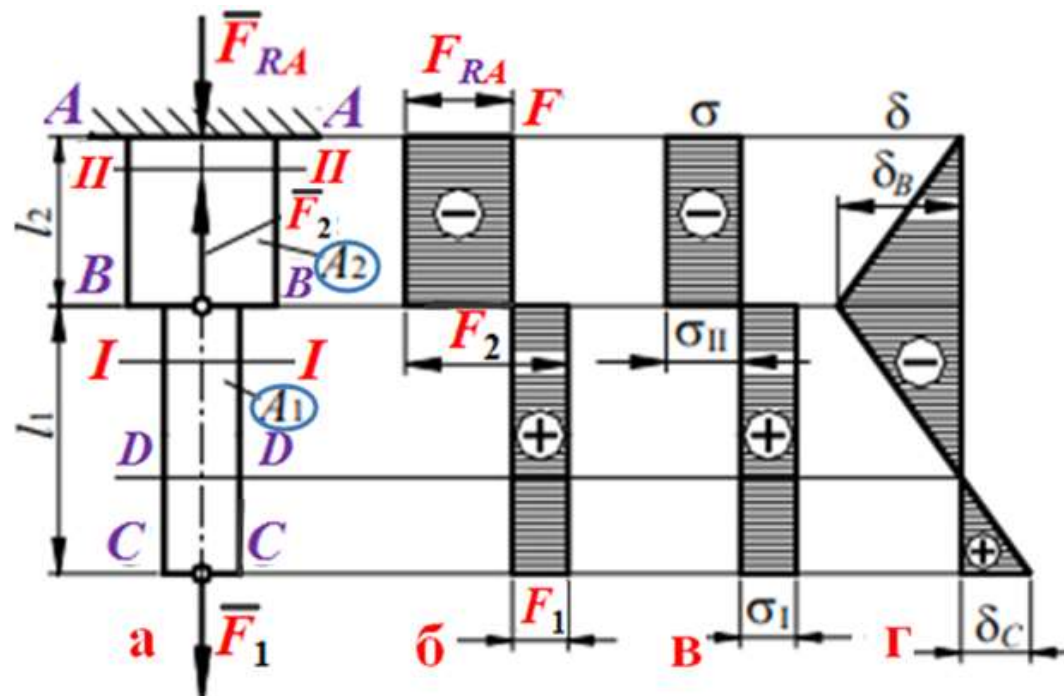


Рис. 1. Расчёт ступенчатого бруса

### 3.6.9 Расчеты на прочность и жесткость при растяжении

**Решение.** Для определения внутренних сил в поперечных сечениях бруса используем метод сечений. Мысленно разрежем брус по сечениям *I-I* и *II-II* (рис. 2 а, д, г).

Составим уравнение равновесия части стержня, расположенной ниже сечения *I-I* (рис. 2 д):  $\sum F_{y1} = F_{RI} - F_1 = 0$ , откуда:  $F_{RI} = F_1$ . Эти уравнения будут справедливы при изменении текущей координаты  $y_1$  в пределах от 0 до  $l_1$ , то есть при:  $0 \leq y_1 \leq l_1$ .

Уравнение равновесия части стержня, расположенной ниже сечения *II-II* (рис. 2 е):  $\sum F_{yII} = -F_{RII} + F_2 - F_1 = 0$ , откуда:  $F_{RII} = F_2 - F_1 = 0$ . Эти уравнения будут справедливы при:  $l_1 \leq y_1 \leq l_1 + l_2$ .

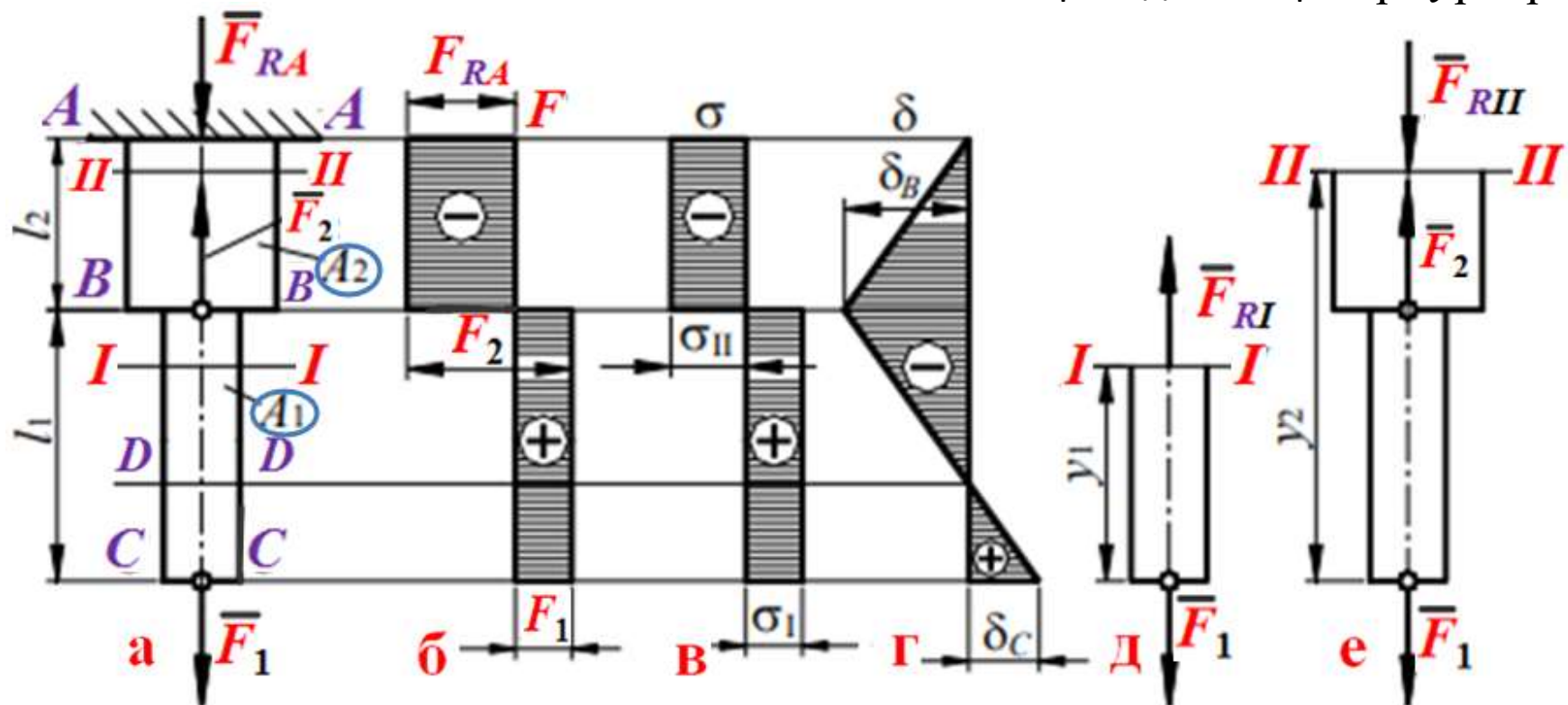


Рис. 2. Расчёт ступенчатого бруса:  $F_2 = 254$  кН;  $F_1 = 114$  кН;  $d_1 = 20$  мм;  $d_2 = 30$  мм.  $l_1 = 30$  мм;  $l_2 = 20$  мм;  $A_1 = (\pi d_1^2)/4 = (\pi \cdot 20^2)/4 = 314$  мм<sup>2</sup>;  $F_{1 \max} = \sigma_T \cdot A_1 = 360 \cdot 314 = 1130097$  Н = 113 кН

### 3.6.9 Расчеты на прочность и жесткость при растяжении (продолжение 1)

Выбрав масштаб  $\mu_F$  (Н/мм), строим эпюру продольных сил (рис. 2 б). При этом растягивающую продольную силу  $F_{RI}$  считаем положительной, сжимающую  $F_{RII}$  — отрицательной. В выбранном масштабе  $\mu_F$  строим эпюру продольных сил (рис. 2 б).

Напряжения  $\sigma$ : а) в сечениях нижней части стержня:  $\sigma_I = F_{RI}/A_1$  (растяжение);

б) в сечениях верхней части стержня:  $\sigma_{II} = F_{RII}/A_2$  (сжатие);

В выбранном масштабе  $\mu_\sigma$  (МПа/мм) строим эпюру напряжений (рис. 2 в).

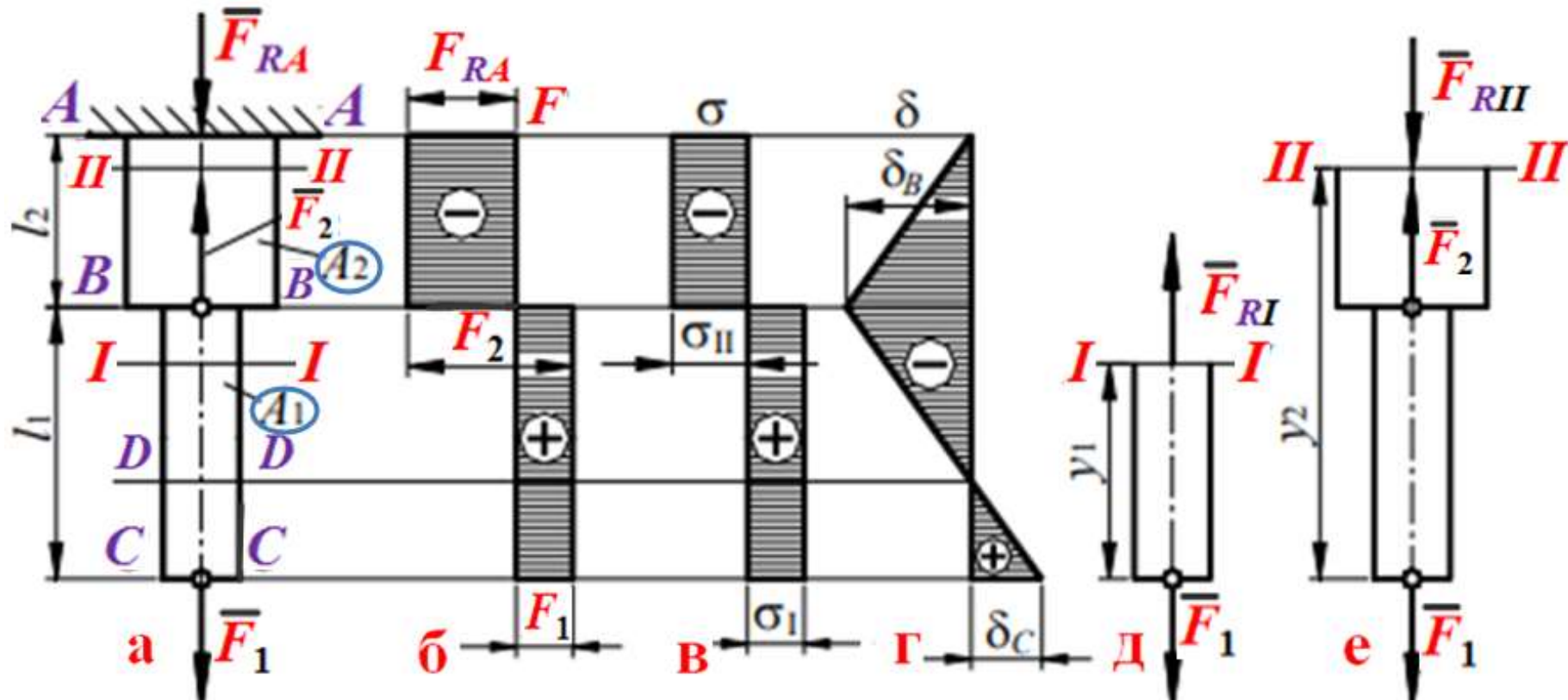


Рис. 2. Расчёт ступенчатого бруса:  $F_2 = 254$  кН;  $F_1 = 114$  кН;  $d_1 = 20$  мм;  $d_2 = 30$  мм.  $l_1 = 30$  мм;  $l_2 = 20$  мм

### 3.6.9 Расчеты на прочность и жесткость при растяжении (продолжение 2)

Для построения эпюры вертикальных перемещений (деформаций)  $\delta$  (рис. 2 г) определяем перемещения характерных сечений  $B-B$  и  $C-C$  (рис. 2 а) (перемещение сечения  $A-A$  равно нулю). Перемещение сечения вниз считаем положительным, вверх – отрицательным.

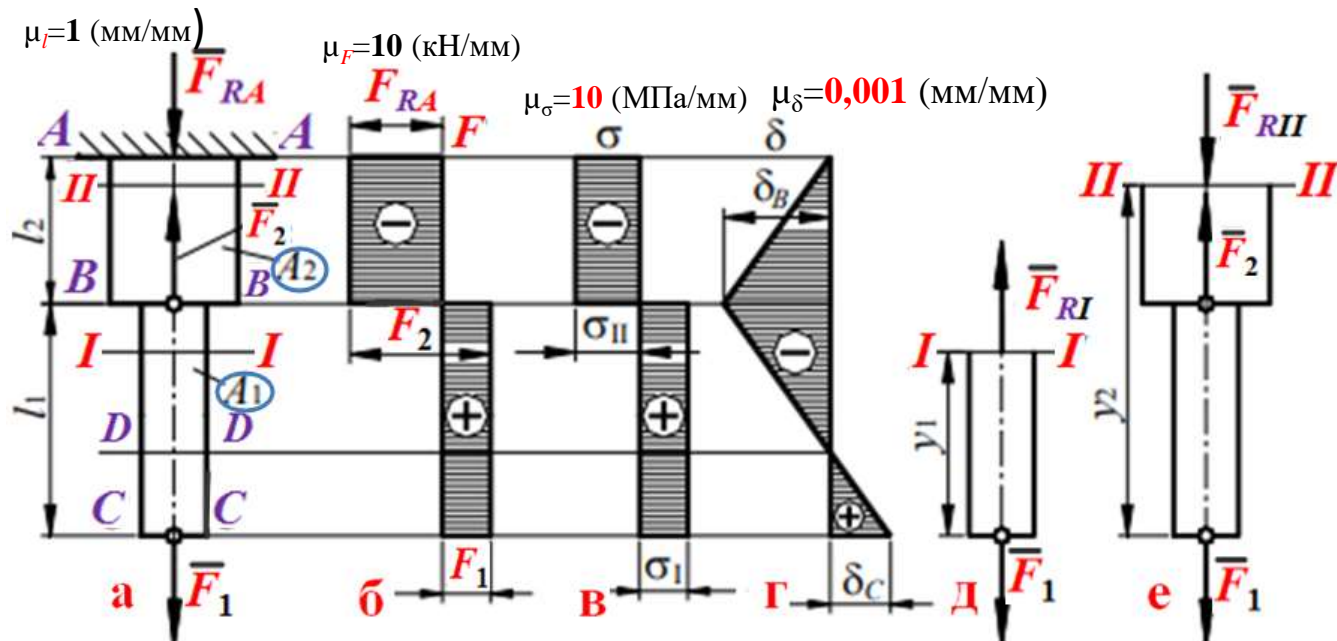
а) Сечение  $B-B$  будет перемещаться вверх, поскольку верхняя часть стержня сжимается:

$$\delta_B = (\sigma_{II} \cdot l_2)/E \quad (\text{вверх, знак минус } -) \quad (\text{рис. 2 г}) \quad (\approx 0,034 \text{ мм}).$$

Сталь:  $E \approx 2 \cdot 10^{11} \text{ Н/м}^2 = 2,1 \cdot 10^5 \text{ МПа} = 2,1 \cdot 10^5 \text{ Н/мм}^2 = 210 \text{ ГПа}$ .

б) Перемещение сечения  $C-C$  является алгебраической суммой перемещения сечения  $B-B$  ( $\delta_B$ ) и удлинения части стержня длиной  $l_1$ :  $\delta_C = \delta_B + \Delta l = \delta_B + (\sigma_I \cdot l_1)/E$ .

В выбранном масштабе  $\mu_\delta$  (мм/мм) откладываем на эпюре значения  $\delta_C$  и  $\delta_B$  (рис. 2 г), соединяем полученные точки прямыми линиями, так как при действии сосредоточенных внешних сил перемещения линейно зависят от абсцисс сечений стержня, и получаем график (эпюру) перемещений.



Из эпюры  $\delta$  видно, что сечение  $D-D$  не перемещается, сечения, расположенные выше сечения  $D-D$ , перемещаются вверх, сечения, расположенные ниже сечения  $D-D$ , перемещаются вниз.

Рис. 2. Расчёт ступенчатого бруса  $F_2 > F_1$ ;  $F_2 = 254 \text{ кН}$ ;  $F_1 = 114 \text{ кН}$ ;  $d_1 = 20 \text{ мм}$ ;  $d_2 = 30 \text{ мм}$ .  $l_1 = 30 \text{ мм}$ ;  $l_2 = 20 \text{ мм}$

### 3.6.9 Расчеты на прочность и жесткость при растяжении (продолжение 3)

Построить эпюры напряжений (рис.4в) и вертикальных перемещений (деформаций)  $\delta$  (рис.4 г),

3) эпюры напряжений  $\sigma$ : а) в сечениях **нижней** части стержня:  $\sigma_I = F_{RI}/A_1$  (растяжение) (рис.4 в) ;

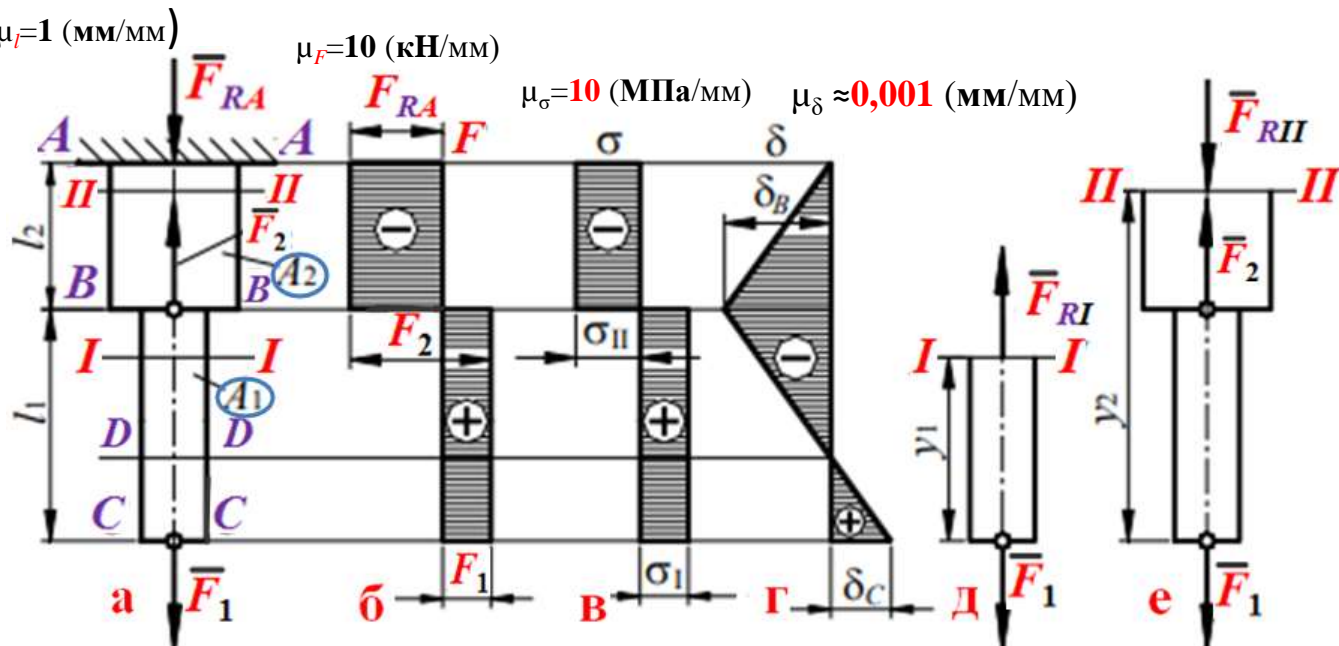
б) в сечениях **верхней** части стержня:  $\sigma_{II} = F_{RII}/A_2$  (сжатие) (рис.4 в) ;

4) эпюры деформаций  $\delta$ : а) Сечение **B-B** будет перемещаться **вверх**, поскольку **верхняя** часть стержня **сжимается**:  $\delta_B = (\sigma_{II} \cdot l_2)/E$  (сжимается, знак «минус» «-») (рис. 4 г), т.е.  $\delta_B = -(\sigma_{II} \cdot l_2)/E$ .

Сталь:  $E \approx 2 \cdot 10^{11} \text{ Н/м}^2 = 2,1 \cdot 10^5 \text{ МПа} = 2,1 \cdot 10^5 \text{ Н/мм}^2 = 210 \text{ ГПа}$ .

б) Перемещение сечения **C-C** является алгебраической **суммой** перемещения сечения **B-B** ( $\delta_B$ ) и **удлинения** части стержня длиной  $l_1$ :  $\delta_C = \delta_B + \Delta l = \delta_B + (\sigma_I \cdot l_1)/E = (-\sigma_{II} \cdot l_2)/E + (\sigma_I \cdot l_1)/E$ .

В выбранном **масштабе**  $\mu_\delta$  (мм/мм) откладываем на эпюре значения  $\delta_C$  и  $\delta_B$  (рис. 4 г), **соединяем** полученные **точки прямыми** линиями, так как при действии сосредоточенных внешних сил **перемещения линейно** зависят от абсцисс (площади) сечений стержня, и получаем график (эпюру) перемещений.



Из **эпюры**  $\delta$  видно, что сечение **D-D** **не перемещается**, сечения, расположенные **выше** сечения **D-D**, **перемещаются вверх**, сечения, расположенные **ниже** сечения **D-D**, **перемещаются вниз**.

Рис. 4. Расчёт ступенчатого бруса:  $\sigma_I = +250 \text{ МПа}$ ;  $\sigma_{II} = -300 \text{ МПа}$ ;  $d_1 = 20 \text{ мм}$ ;  $d_2 = 30 \text{ мм}$ .  $l_1 = 40 \text{ мм}$ ;  $l_2 = 30 \text{ мм}$

**ИДЗ-3 состоит из нескольких задач:**

- 1. Растяжение-сжатие ступенчатого бруса;**
- 2. Сдвиг;**
- 3. Кручение;**
- 4. Изгиб балки;**
- 5. Сложное сопротивление;**
- 6. Прочность материалов при переменных напряжениях.**



## 1. Растяжение-сжатие ступенчатого бруса

Стальной стержень находится под действием продольных сил (табл. 1).

- 1) Построить схему нагрузки бруса  $\mu_l = 1$  мм/мм;
- 2) эпюры внутренних продольных сил  $N (F)$   $\mu_N = \underline{\hspace{2cm}}$  Н/мм;
- 3) эпюры нормальных напряжений  $\sigma$  (МПа)  $\mu_\sigma = \underline{\hspace{2cm}}$  МПа/мм;
- 4) эпюры перемещений  $\lambda (\delta)$   $\mu_\delta = \underline{\hspace{2cm}}$  мм/мм; ( $\approx 0,001$  мм/мм).

Влиянием собственного веса стержня пренебречь. Модуль упругости стали  $E = 2,1 \cdot 10^5$  МПа, длина  $l = 1$  м.

**Таблица 1.** Исходные данные к задаче 1 (растяжение-сжатие ступенчатого бруса) (по предпоследней цифре зачётной книжки )

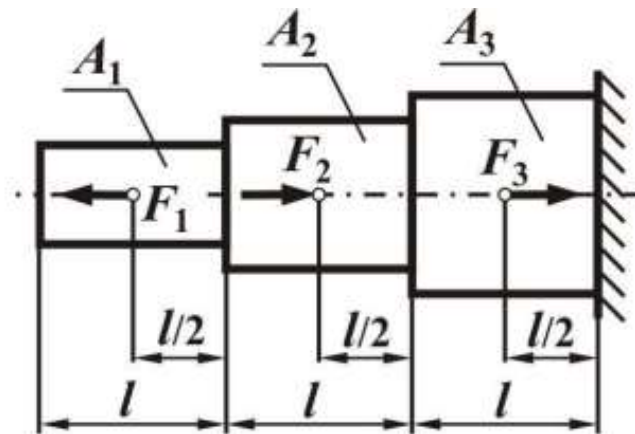
Номер варианта	0	1	2	3	4	5	6	7	8	9
$F_1$ , кН	20	25	10	55	25	10	30	45	35	20
$F_2$ , кН	25	15	50	15	45	35	10	25	50	30
$F_3$ , кН	40	40	45	30	30	25	45	20	25	25

На схемах 0–9 центрами маленьких окружностей обозначены точки приложения

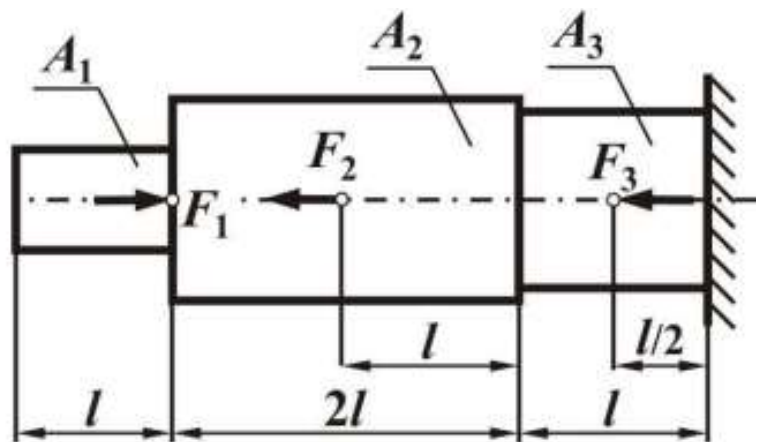
сил  $F_1, F_2, F_3$ .

Схема 0

(по последней цифре зачётной книжки )

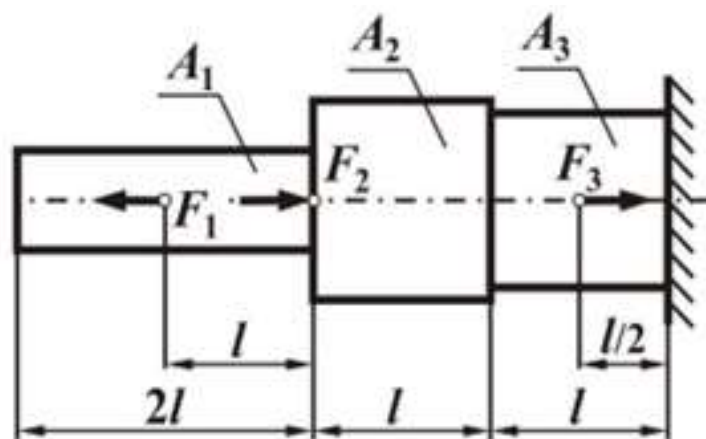


$$A_1 = 100 \text{ мм}^2, \quad A_2 = 200 \text{ мм}^2, \quad A_3 = 300 \text{ мм}^2.$$



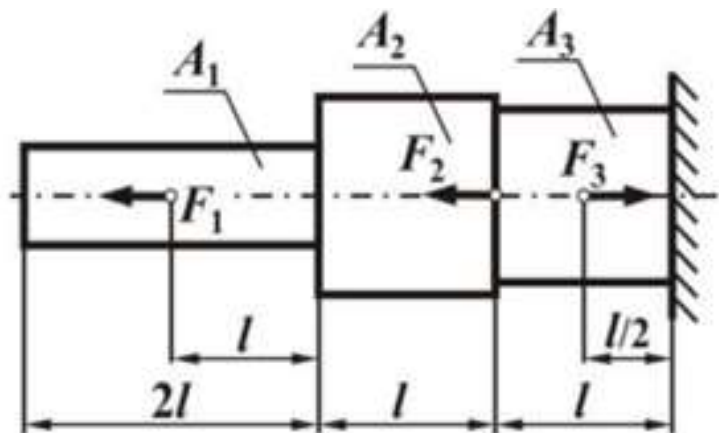
$$A_1 = 100 \text{ мм}^2, \quad A_2 = 300 \text{ мм}^2, \quad A_3 = 250 \text{ мм}^2.$$

Схема 9



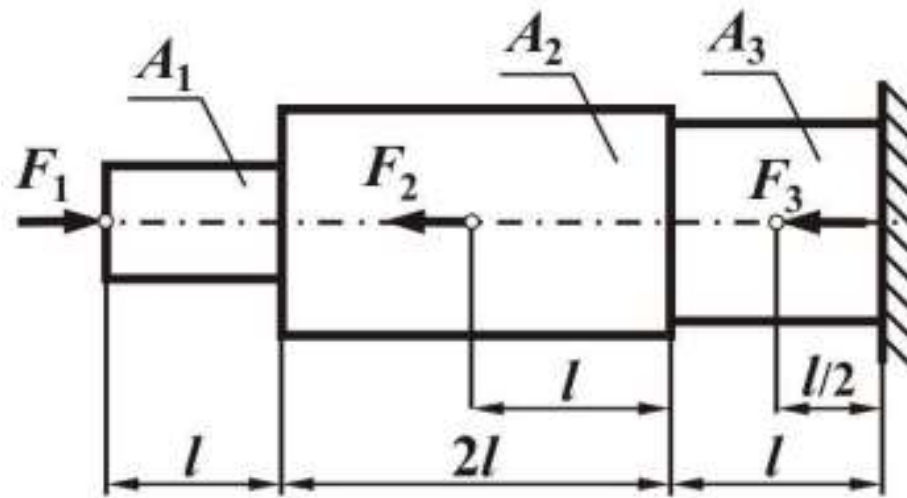
$$A_1 = 100 \text{ мм}^2, \quad A_2 = 200 \text{ мм}^2, \quad A_3 = 150 \text{ мм}^2.$$

Схема 1



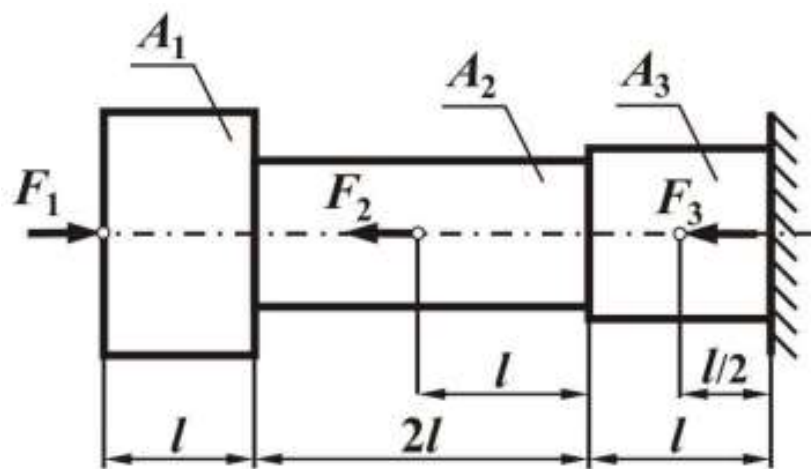
$$A_1 = 100 \text{ мм}^2, \quad A_2 = 300 \text{ мм}^2, \quad A_3 = 250 \text{ мм}^2.$$

Схема 2



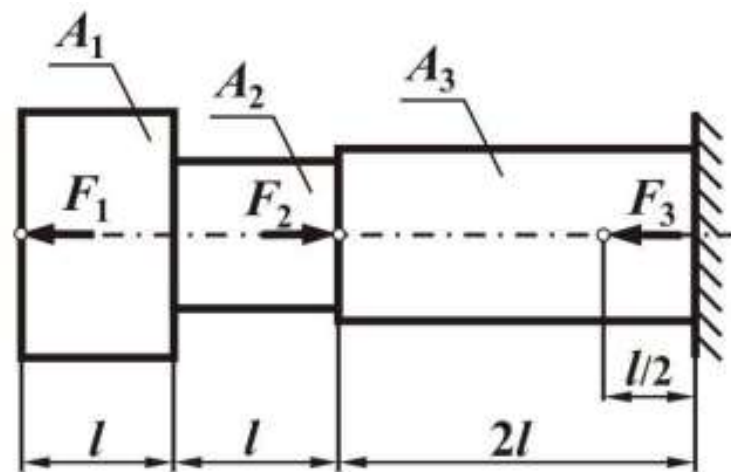
$$A_1 = 100 \text{ мм}^2, \quad A_2 = 300 \text{ мм}^2, \quad A_3 = 250 \text{ мм}^2.$$

Схема 3



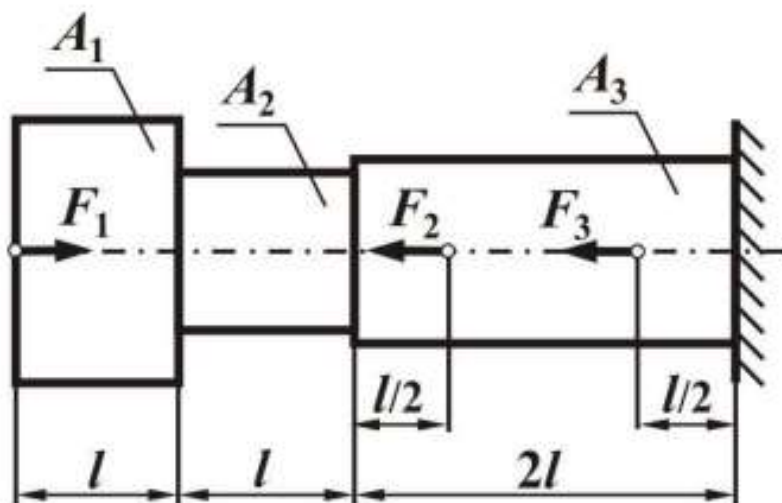
$$A_1 = 250 \text{ мм}^2, \quad A_2 = 100 \text{ мм}^2, \quad A_3 = 150 \text{ мм}^2.$$

Схема 4



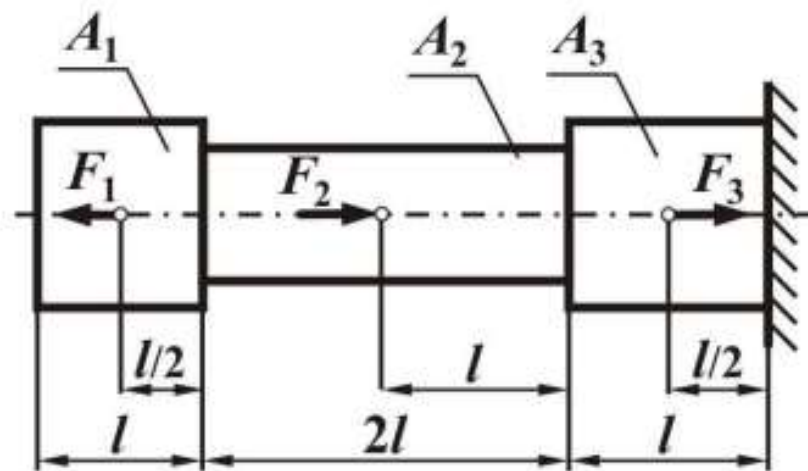
$$A_1 = 300 \text{ мм}^2, \quad A_2 = 150 \text{ мм}^2, \quad A_3 = 200 \text{ мм}^2.$$

Схема 5



$$A_1 = 300 \text{ мм}^2, \quad A_2 = 150 \text{ мм}^2, \quad A_3 = 200 \text{ мм}^2.$$

Схема 6



$$A_1 = 200 \text{ мм}^2, \quad A_2 = 100 \text{ мм}^2, \quad A_3 = 200 \text{ мм}^2.$$

Схема 7

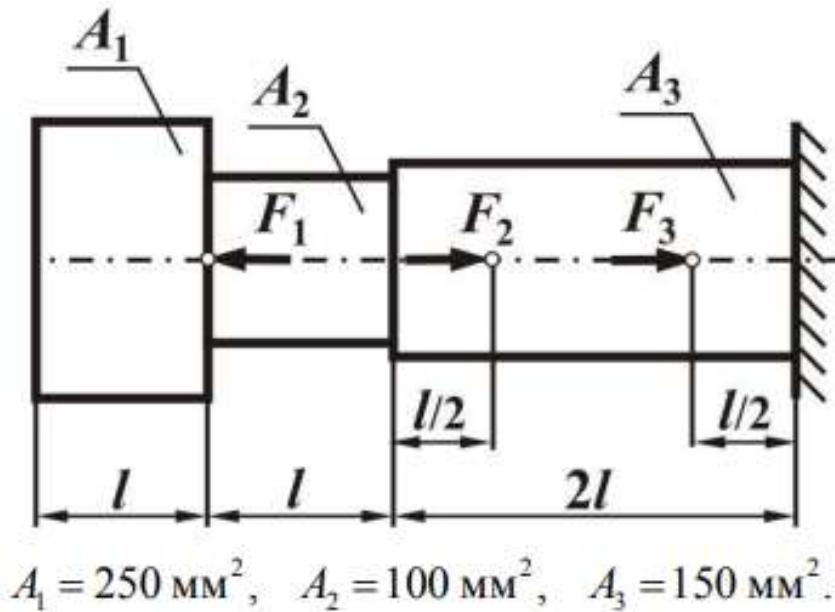


Схема 8

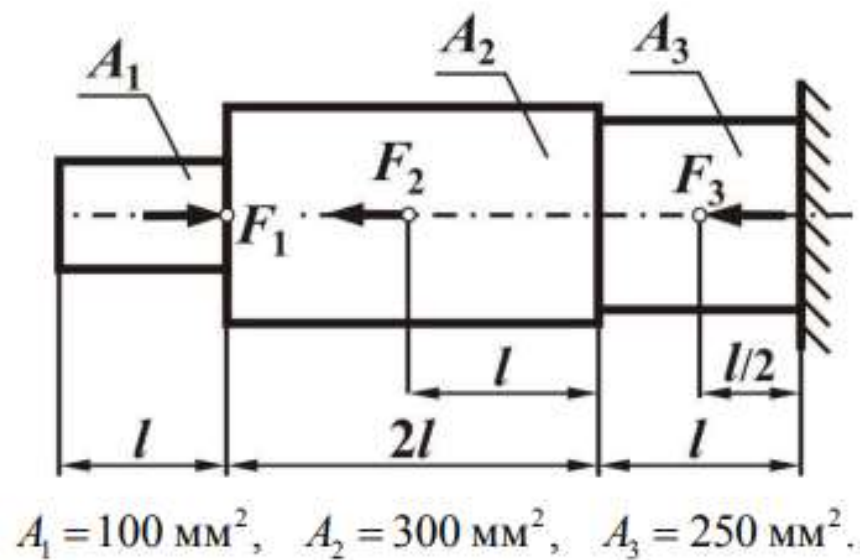


Схема 9

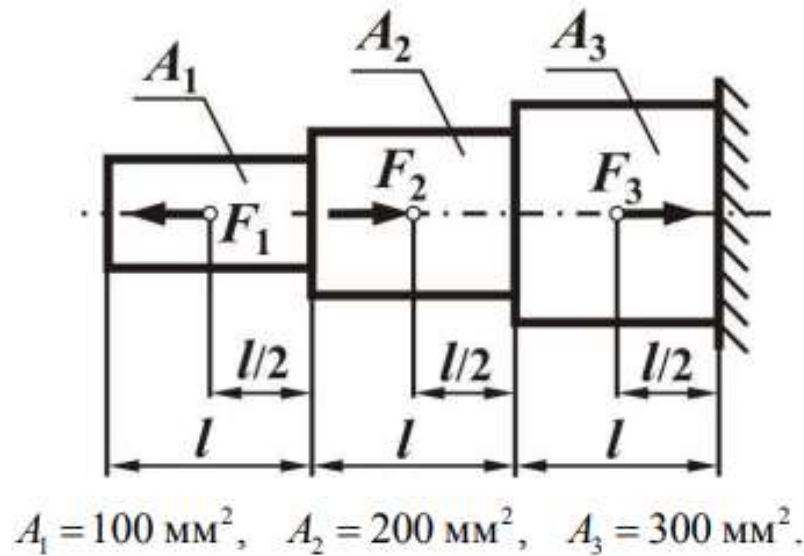


Схема 0

$A_1 = 100 \text{ мм}^2$ ;  
 $A_2 = 200 \text{ мм}^2$ ;  
 $A_3 = 300 \text{ мм}^2$ .

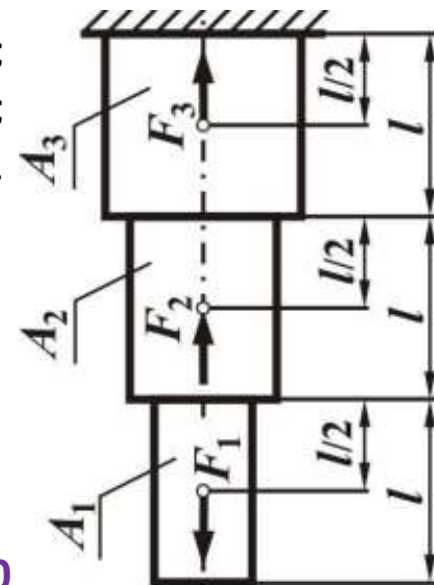
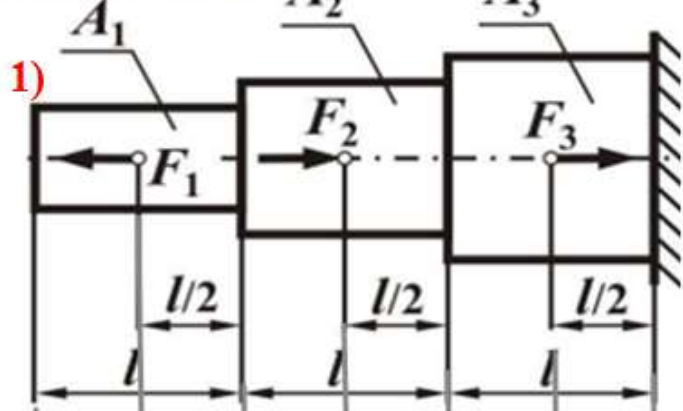


Схема 0

$\mu_l = 1 \text{ мм/мм};$



1)				
2)	+			
	-			
3)	+			
	-			
4)	+			
	-			

Схема 0  
 $A_1 = 100 \text{ мм}^2;$   
 $A_2 = 200 \text{ мм}^2;$   
 $A_3 = 300 \text{ мм}^2$

$\mu_N = \text{__} \text{ Н/мм};$

$\mu_\sigma = \text{__} \text{ МПа/мм};$

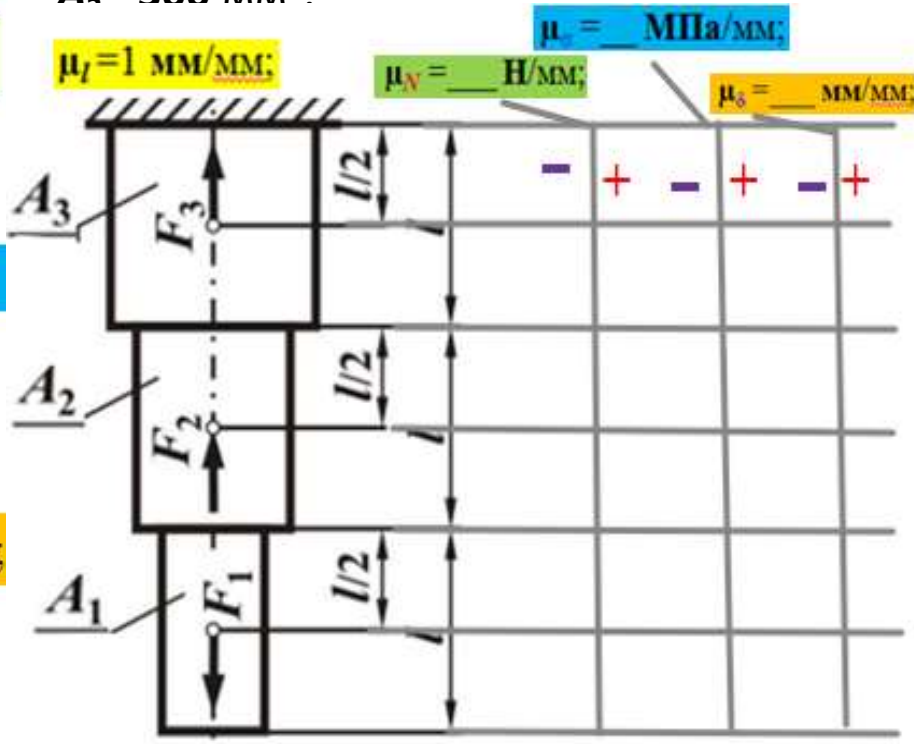
$\mu_\delta = \text{__} \text{ мм/мм};$

- 1) схема нагрузки бруса  $\mu_l \approx 50 \text{ мм/мм};$
- 2) эюры внутренних сил  $N$  (Н)  $\mu_N \approx 1 \dots 2 \text{ кН/мм};$
- 3) эюры напряжений  $\sigma$  (МПа)  $\mu_\sigma = \text{__} \text{ МПа/мм};$
- 4) эюры перемещений  $\delta$  (мм)  $\mu_\delta = \text{__} \text{ мм/мм};$   
 ( $\mu_\delta \approx 0,001 \dots 0,02 \text{ мм/мм}$ ).

Схема 0

$A_1 = 100 \text{ мм}^2;$   
 $A_2 = 200 \text{ мм}^2;$   
 $A_3 = 300 \text{ мм}^2.$

$F_1 = 10 \dots 55 \text{ кН};$   
 $F_2 = 10 \dots 55 \text{ кН};$   
 $F_3 = 20 \dots 45 \text{ кН};$



Значительное количество деталей в процессе работы подвергаются воздействию **нагрузки, перпендикулярной к продольной оси**, или **внешних пар**, действующих в **плоскости, проходящей через указанную ось** (рис. 3.34). При этом в поперечных сечениях деталей или их элементов возникают **изгибающие моменты**, то есть внутренние моменты, действующие в **плоскости, перпендикулярной к плоскости поперечного сечения**. Такой вид нагружения называют изгибом. При действии такой нагрузки **ось стержня искривляется**. Стержни, работающие в основном **на изгиб**, принято называть **балками**.

**Изгиб** называют **чистым**, если **изгибающий момент** является **единственным внутренним усилием**, возникающим в поперечном сечении стержня (в поперечном сечении отсутствуют поперечные силы). **Если** в **поперечных сечениях** стержня наряду с изгибающими моментами **возникают и поперечные силы**, то такой изгиб называют **поперечным**.

Если **плоскость действия изгибающего момента (силовая плоскость)** проходит через одну из **главных центральных осей** поперечного сечения стержня, **изгиб** называют **простым** или **плоским**. При этом **ось балки после деформации остается в силовой плоскости**.

Если **плоскость действия изгибающего момента** в сечении **не совпадает** ни с одной из **главных осей сечения**, **изгиб** называют **косым**. При **косом изгибе** **плоскость деформации** не совпадает с **силовой плоскостью**.

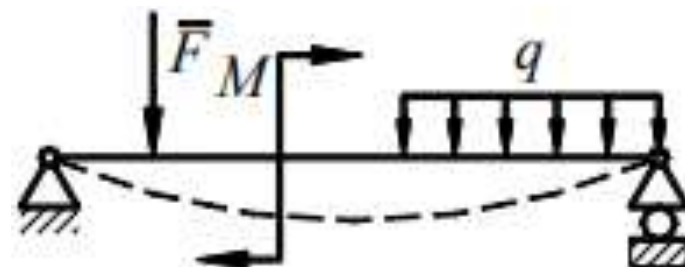


Рис. 3.34. Схема балки при изгибе

### 3.6.12 Изгиб (продолжение 1)

Деформацию **изгиба** легко проследить на модели, представляющей собой **прямолинейный призматический брус**, длина которого значительно превышает его **поперечные** размеры. На боковые грани **бруса** нанесены **равноотстоящие горизонтальные** и **вертикальные** линии (рис. 3.35, *а*). В **плоскости симметрии  $abcd$**  (рис. 3.35, *в*) к концам бруса приложены **два равных противоположно направленных момента  $M$** , под действием которых брус **изгибается** (рис. 3.35, *б*).

**Основные признаки чистого изгиба:**

1. Плоские **поперечные** сечения бруса остаются **плоскими** и **поворачиваются** на некоторый **угол  $\alpha_i$**  одно относительно другого (рис. 3.35, *з*).
2. Плоские **продольные** сечения **искривляются**, о чем можно судить по тому, что **продольные горизонтальные** прямые, нанесенные на **боковые** грани, становятся **кривыми** линиями (рис. 3.35, *б*).

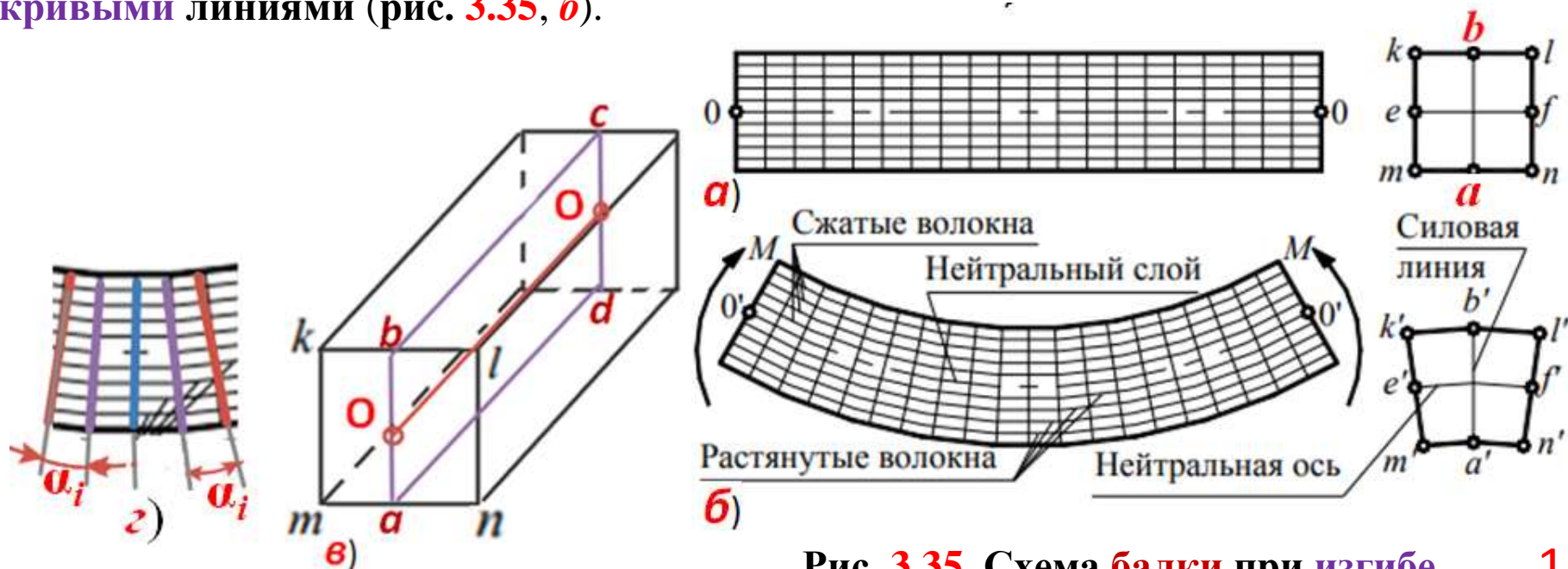


Рис. 3.35. Схема балки при изгибе

### 3.6.12 Изгиб (продолжение 2)

Основные признаки **чистого изгиба** (*продолжение*).

3. Волокна на **вогнутой** стороне бруса **укорачиваются**, что свидетельствует об их **сжатии**, а на **выпуклой** стороне – **удлиняются, растягиваются** (рис. 3.35, б).

4. Как показывает опыт, одна из **горизонталей** на **боковой грани** (поверхности) бруса своей **длины не изменяет** (линия **00** → **0'0'** на рис. 3.35, а, в, б). Это позволяет сделать вывод о существовании у бруса **слоя**, которые не испытывает **ни растяжения, ни сжатия**. Такой слой называют **нейтральным** слоем.

5. След **e'f'** **нейтрального** слоя на плоскости **поперечного сечения** называют **нейтральной осью** (рис. 3.35, б). Нейтральная ось **00** при изгибе своей длины не изменяет (линия **00** на рис. 3.35, а → **0'0'** на рис. 3.35, б).

6. След **a'b'** **силовой плоскости** на **поперечном сечении** балки называют **силовой линией**.



Рис. 3.35. Схема балки при изгибе



## Вывод из основных признаков чистого изгиба.

При **изгибе** наблюдаются **те же явления**, что и при простом **растяжении** и **сжатии**, когда **знак поперечной деформации** **противоположен** **знаку продольной деформации**, то есть **продольное растяжение** сопровождается **поперечным сжатием** и **продольное сжатие** приводит к **поперечному растяжению** (рис. 3.36). Но принцип **сохранения объёма** действует только при **пластической деформации**.

Из рис. 3.35 следует, что величина **деформации** волокон, как **в продольном**, так и **в поперечном** направлении **тем больше**, чем **дальше** они расположены от **нейтрального слоя** или **нейтральной оси**.

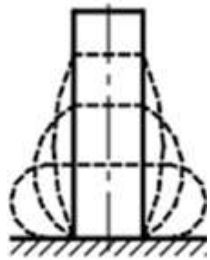


Рис. 3.36. При **сжатии** уменьшение **продольного** размера приводит к **увеличению поперечного** размера (действует **даже** при **упругой** деформации)



Рис. 3.35. Схема балки при изгибе

### 3.6.13 Типы опор балок

**Опоры** балок, рассматриваемых как плоские системы, бывают **трех основных типов**.

**1. Подвижная шарнирная опора** (рис. 3.37, а). Такая опора не препятствует вращению конца балки и его перемещению вдоль плоскости качения. В ней может возникать только **одна реакция**, которая **перпендикулярна** плоскости качения и проходит **через центр** катка. Подвижные опоры дают возможность балке беспрепятственно изменять свою длину **при изменении температуры** и тем самым устраняют возможность появления температурных напряжений.

**2. Неподвижная шарнирная опора** (рис. 3.37, б). Такая опора допускает **вращение** конца балки, но **устраняет поступательное** перемещение ее в любом направлении. Возникающую в ней **реакцию** можно разложить на две составляющие – **горизонтальную** и **вертикальную**.

**3. Жесткая заделка, или защемление** (рис. 3.37, в). Такое закрепление **не допускает** ни **линейных**, ни **угловых** перемещений опорного сечения. В этой опоре может в общем случае возникать **реакция**, которую обычно раскладывают на две составляющие (**вертикальную** и **горизонтальную**) и **реактивный момент**.

Для того чтобы **балка** могла воспринимать **нагрузку** в **одной плоскости** и оставалась бы при этом в целом **неподвижной по отношению к основанию**, **наименьшее** число **связей**, налагаемых **опорами**, должно быть равно **трем**.

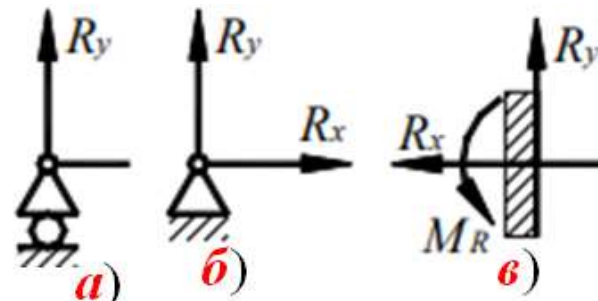


Рис. 3.37. Основные типы опор балок

### 3.6.13 Типы опор балок (продолжение 1)

Если **опорные реакции** могут быть найдены **только** из уравнений **статики**, то балки называют **статически определенными**. Для таких балок возможны следующие варианты крепления:

1) **защемление** балки **одним концом** (балка с **одним заделанным концом** называется **консольной балкой** или просто **консолью**);

2) крепление **одного конца балки** при помощи **неподвижной шарнирной опоры**, а **другого конца** – при помощи **подвижной шарнирной опоры** (балки, имеющие **две опоры**, называют **двухопорными**). Такие опоры **исключают** возможность возникновения **продольных усилий** при **деформации**, вызванной **изменением температуры**.

Если же **число неизвестных опорных реакций** больше, чем **число уравнений статики**, возможных для данной задачи, то балки называют **статически неопределимыми**. Для определения реакций в таких балках необходимо составлять дополнительные уравнения – **уравнения перемещений**. В данном курсе статически неопределимые балки не рассматриваются.

## Определение опорных реакций

Определение опорных реакций производят при **помощи уравнений статики**. **Рис. 2**

Реакцию заделки разложим на две составляющие силы  $\overline{R}_{Ax}$  и  $\overline{R}_{Ay}$ , направленные вдоль осей  $x$  и  $y$ , и реактивный момент  $M_{Az}$ ,

Составим *уравнения равновесия балки*.

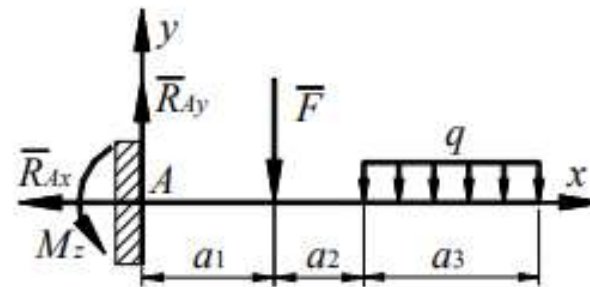
1. Приравняем нулю сумму проекций на ось  $x$  всех сил, действующих на балку:

$$\sum F_x = 0.$$

Получаем:

$$R_{Ax} = 0.$$

При отсутствии горизонтальной нагрузки горизонтальная составляющая реакции  $R_{Ax}$  равна нулю.



**Рис. 1**

2. Приравняем нулю сумму проекций на ось  $y$  всех сил, действующих на балку:

$$\sum F_y = 0.$$

Равномерно распределенную нагрузку  $q$  заменяем *равнодействующей*  $qa_3$ , приложенной в середине участка  $a_3$ :

$$R_{Ay} - F_1 - qa_3 = 0,$$

откуда:

$$R_{Ay} = F_1 + qa_3.$$

Вертикальная составляющая реакции в консольной балке равна сумме сил, приложенных к балке.

### 3.6.14 Определение опорных реакций (продолжение 1)

3. Составляем третье уравнение равновесия.

Приравняем нулю сумму моментов всех сил относительно какой-нибудь точки, например, относительно точки A:

$$\sum M_{Az} = 0;$$

$$-M_{Az} - F_1 a_1 - q a_3 \left( a_1 + a_2 + \frac{a_3}{2} \right) = 0,$$

откуда:

$$M_{Az} = -F_1 a_1 - q a_3 \left( a_1 + a_2 + \frac{a_3}{2} \right) = 0.$$

Знак «минус» показывает, что принятое вначале направление реактивного момента следует изменить на обратное.

*Реактивный момент в заделке равен сумме моментов внешних сил относительно заделки.*

Во втором примере рассмотрим определение опорных реакций *двухопорной* балки (рис. 2.6.5).

$$1. \Sigma F_{Ax} = -R_{Ax} - F \cos \alpha = 0;$$

$$R_{Ax} = -F \cos \alpha.$$

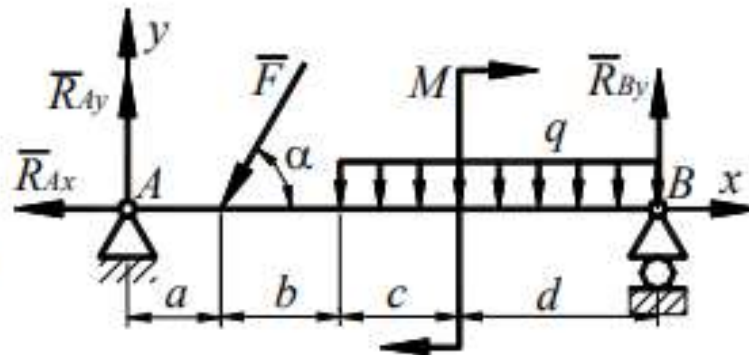


Рис. 2 Рис. 2.

### 3.6.14 Определение опорных реакций (продолжение 2)

$$2. \sum M_{Bz} = -R_{Ay}(a+b+c+d) + (b+c+d)F \sin \alpha + \frac{q(c+d)^2}{2} - M = 0.$$

$$R_{Ay} = \frac{(b+c+d)F \sin \alpha + \frac{q(c+d)^2}{2} - M}{a+b+c+d}.$$

$$3. \sum F_y = R_{Ay} - F - q(c+d) + R_{By} = 0;$$

$$R_{By} = -R_{Ay} + F + q(c+d).$$

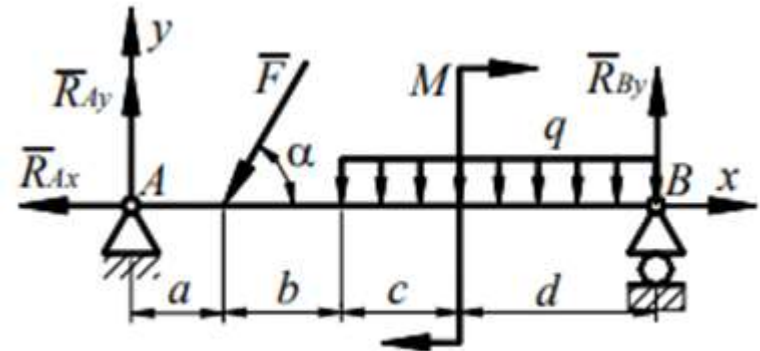


Рис. 2 (повтор)

$a_1 R_{Ay} B F_2$

### 3.6.15 Изгиб расчёт. Определение внутренних усилий при изгибе

При **плоском поперечном изгибе** в поперечных сечениях балки возникают **два внутренних силовых фактора**: **изгибающий момент  $M_x$**  и **поперечная сила  $F_{R\tau}$  ( $F_{Rt}$ )**

Для их определения применим **метод сечений**. В рассматриваемом месте сделаем **мысленный разрез** балки, например, на расстоянии  **$x$**  от **левой опоры** (рис. 3.38, *a*).

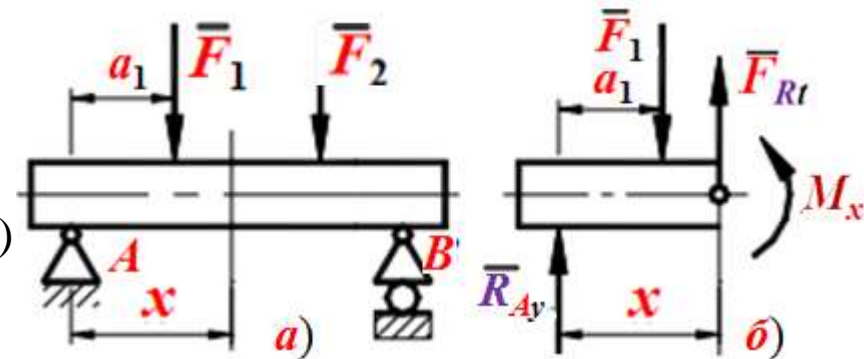


Рис. 3.38. Расчёт внутренних усилий в двухопорной балке

### 3.6.15 Изгиб расчёт

Для определения величин  $M_x$  и  $F_{Rt}$  используем **два** уравнения **равновесия**:

Следовательно: **1) поперечная сила  $F_{Rt}$**  в поперечном сечении балки численно **равна алгебраической сумме проекций на плоскость сечения всех внешних сил**, действующих по **одну сторону** от сечения;

**2) изгибающий момент** в поперечном сечении балки численно **равен алгебраической сумме моментов** (вычисленных относительно **центра тяжести сечения**) **внешних сил**, действующих по **одну сторону** от **данного сечения**.

**Правило знаков** для поперечных сил и изгибающих моментов:

Поперечная сила  $F$  в сечении балки  $mn$  (рис. 3.39, а) считают **положительной**, если **равнодействующая внешних сил слева** от сечения ( $mn$ ) направлена **снизу** вверх, а **справа** – **сверху** вниз, и отрицательной – в противоположном случае (рис. 3.39, б).

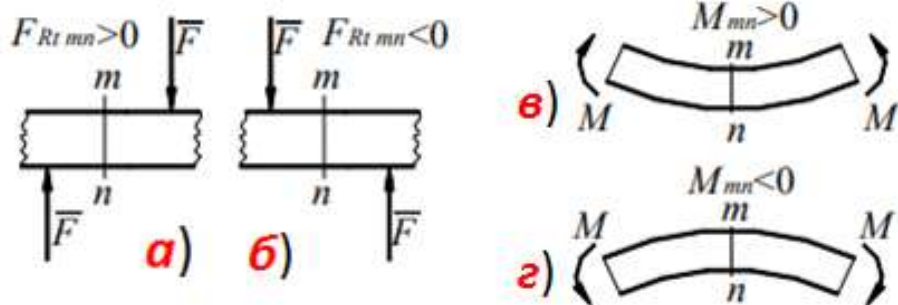


Рис. 3.39. Правило знаков для поперечных сил (а, б) и изгибающих моментов (в, з)

$$1. \sum M_0 = R_{Ay}x - F_1(x - a_1) - M_x = 0;$$

$$M_x = R_{Ay}x - F_1(x - a_1).$$

$$2. \sum F_y = R_{Ay} - F_1 + F_{Rt} = 0;$$

$$F_{Rt} = F_1 - R_{Ay}.$$

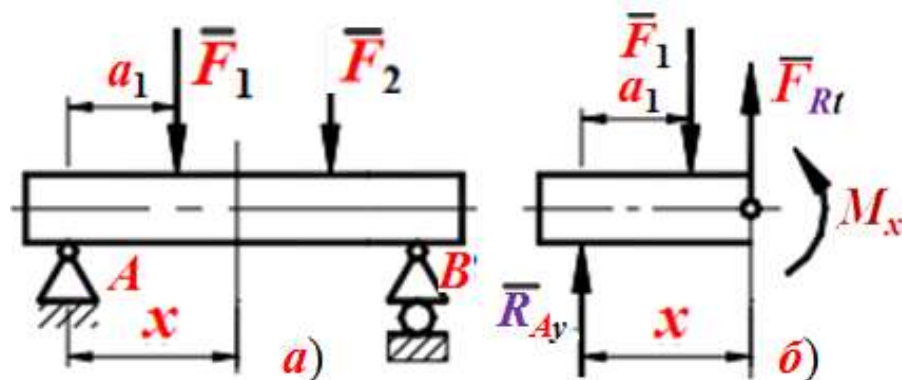


Рис. 3.38. Расчёт внутренних усилий в двухопорной балке

### 3.6.15 Изгиб расчёт (продолжение 1)

Поперечная сила  $F$  в сечении балки  $mn$  (рис. 3.39, а) считают **положительной**, если **равнодействующая внешних сил слева от сечения ( $mn$ ) направлена снизу вверх**, а **справа – сверху вниз**, и отрицательной – в противоположном случае (рис. 3.39, б).

**Изгибающий момент** в сечении балки, например, в сечении  $mn$  (рис. 3.39, в), **положителен**, если **равнодействующий момент внешних сил слева от сечения направлен по часовой стрелке**, а **справа – против часовой стрелки**, и **отрицателен** – в противоположном случае (рис. 3.39, г).

**Моменты**, изображенные на рис. 3.39, в, **изгибают балку выпуклостью вниз**, а моменты, изображенные на рис. 3.39, г, **изгибают балку выпуклостью вверх**.

Отсюда: **изгибающий момент** считается **положительным**, если в рассматриваемом сечении балка **изгибается выпуклостью вниз**.

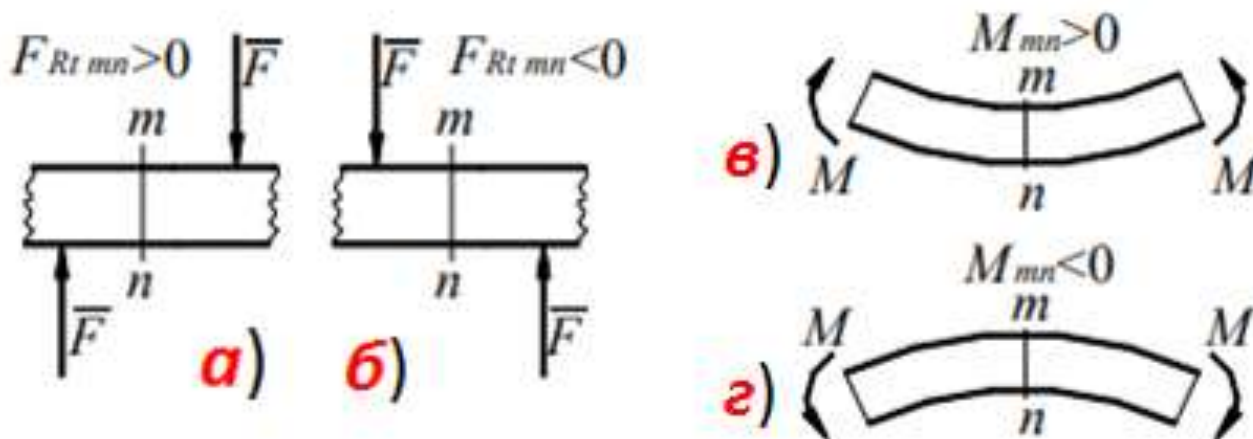


Рис. 3.39. Правило знаков для поперечных сил (а, б) и изгибающих моментов (в, г)



### 3.6.15 Изгиб расчёт (продолжение 2)

#### Построение эпюр изгибающих моментов и поперечных сил

Для наглядного представления о характере изменения **изгибающего момента  $M_x$**  и **поперечной силы  $F_{Rt}$**  по **длине** балки и для нахождения **опасных сечений** строят **эпюры  $M_x$  и  $F_{Rt}$** . В **первом** примере рассмотрим построение эпюр  $M_x$  и  $F_{Rt}$  для **консольной балки**, изображенной на рис. 3.40, *a*.

Проводим сечение **справа** от **силы  $F$**  на расстоянии  $x_1$  от **правого конца** балки (сечение I-I),  $x_1$  – величина переменная, индекс «1» обозначает **номер участка**, на котором сделано **сечение**.

**Изгибающий момент** в сечении I-I проще всего определить, составив **уравнение суммы моментов внешних сил**, расположенных, в данном случае, **справа** от сечения:

$$M_{x1}=0; \text{ при } 0 \leq x_1 \leq a_2.$$

Т.е. изгибающий момент в **любом поперечном сечении** балки на **участке BC** отсутствует.

Изгибающий момент в сечении II-II на участке **AB** так же вычислим, как **сумму моментов всех сил**, расположенных **справа** от сечения (в этом случае нет необходимости в определении опорных реакций в заделке):

$$M_{x1}=-F(x_2 - a_2); \text{ при } a_2 \leq x_2 \leq (a_1+a_2).$$

Знак «**минус**» взят потому, что балка изгибается **выпуклостью вверх**.

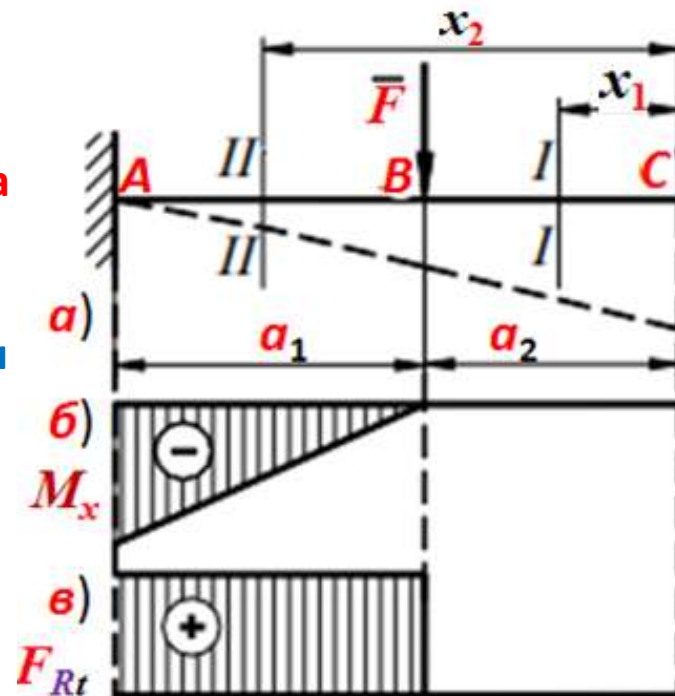


Рис. 3.40. Построение эпюр поперечных сил  $F_{Rt}$  и изгибающих моментов  $M_x$  консольной балки

### 3.6.15 Изгиб расчёт (продолжение 3)

Полученное уравнение  $M_{x1}=f(M_x)$  является **уравнением наклонной прямой** линии. Поэтому для построения эпюры на **участке АВ** достаточно вычислить **два значения  $M_x$** :

$$M_{x2=a2}=0; \text{ и } M_{x2=(a1+a2)}=-F \cdot a_1.$$

Величину  $F \cdot a_1$  в выбранном масштабе откладываем **вниз** от **оси эпюры**. Эпюра  $M_x$  (Н·м) представлена на **рис. 3.40, б**.

**Наибольший изгибающий момент** возникает в сечении у **заделки**:  $M_{x_{\max}}=-F \cdot a_1$ .

Вычислим теперь **поперечную силу** в сечении I-I.

**Проектируя** на **вертикальную ось** силы, расположенные **справа** от сечения, получаем, что:

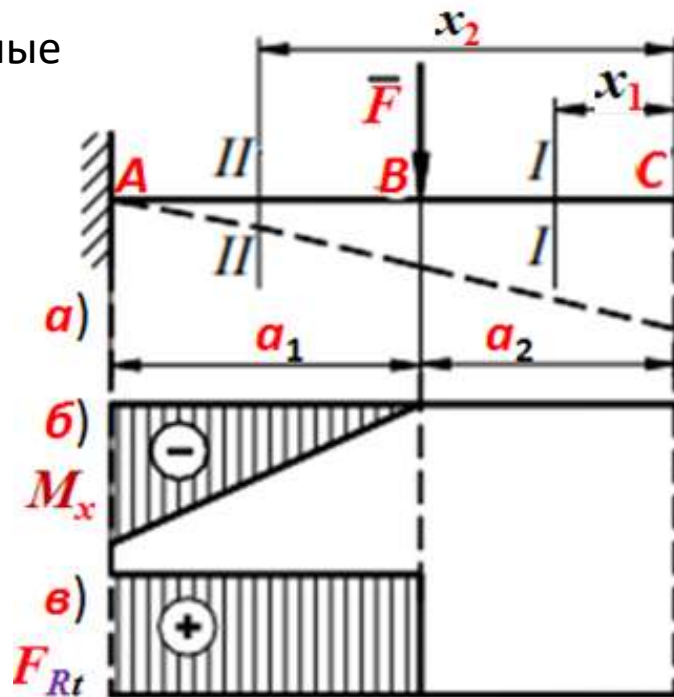
$$F_{Rt} = 0; \text{ при } 0 \leq x_1 \leq a_2.$$

Для сечения II-II тем же путем получим:

$$F_{Rt \ x2} = F; \text{ при } a_2 \leq x_2 \leq (a_1+a_2).$$

Знак «**плюс**» взят потому, что **внешняя сила справа** от сечения направлена **сверху вниз**.

Эпюра  $F_{Rt}$  (Н) показана на **рис. 3.40, в**.



**Рис. 3.40.** Построение **эпюр** поперечных сил  $F_{Rt}$  и изгибающих моментов  $M_x$  консольной балки

$M_x$  и **А В С в)  $F_{Rt}$  а) б) в)  $a_1 a_2$** :

### 3.6.15 Изгиб расчёт (продолжение 4)

Во **втором** примере рассмотрим построение эпюр  $M_x$  и  $F_{Rt}$  для **двухопорной балки**, изображенной на рис. 3.41, а. Используя уравнения равновесия, определим реакции  $R_{Ay}$  и  $R_{By}$ . **Изгибающий момент** в сечении с абсциссой  $x_1$  определяем как сумму моментов от сил, расположенных слева от сечения при  $0 \leq x_1 \leq l_1$ :

$$M_{x_1} = -R_{Ay}x_1 - \frac{q_1 x_1^2}{2};$$

Уравнение момента  $M_{x_1}$  описывает параболу. Поэтому **двух** фиксированных точек для построения эпюры недостаточно. Эпюру строим **по трем** точкам:

$$x'_1 = 0; M_{x'_1} = 0;$$

$$x''_1 = l_1/2; M''_{x_1} = -\frac{R_{Ay}l_1}{2} - \frac{q_1 l_1^2}{8};$$

$$x'''_1 = l_1; M'''_{x_1} = -R_{Ay}l_1 - \frac{q_1 l_1^2}{2}.$$

По этим данным строим эпюру  $M_x$  на **участке АЕ**.

Определяем **изгибающий момент в сечении** с абсциссой  $x_2$  от всех нагрузок, действующих **слева** от этого сечения:

$$M_{x_2} = -R_{Ay}x_2 - q_1 l_1 \left( x_2 - \frac{l_1}{2} \right) + M;$$

$$l_1 \leq x_2 \leq (l_1 + l_2).$$

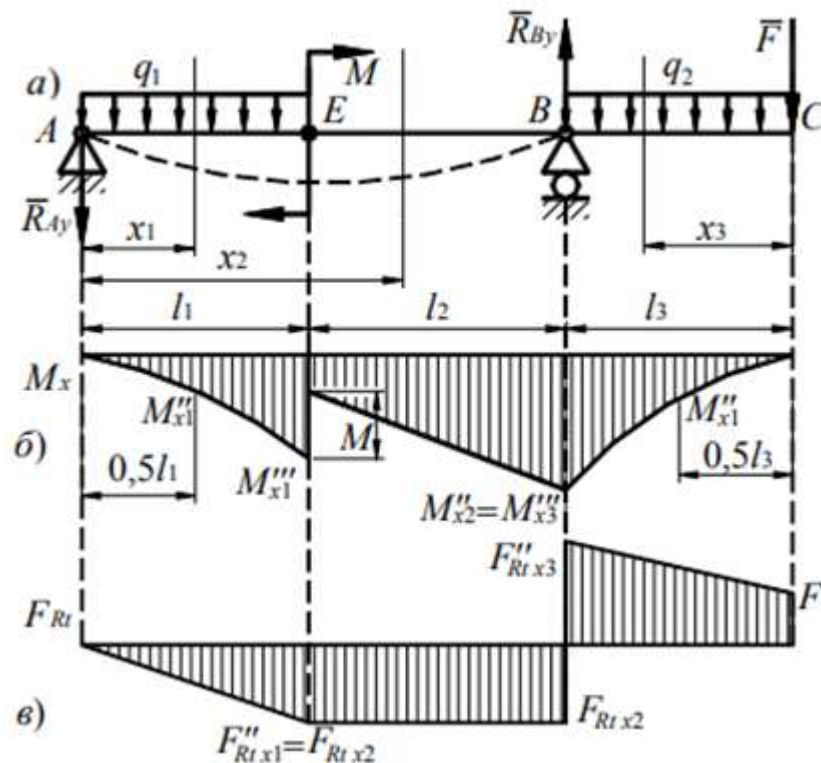


Рис. 3.41. Построение **эпюр поперечных сил  $F_{Rt}$**  и **изгибающих моментов  $M_x$**  **двухопорной балки**

### 3.6.15 Изгиб расчёт (продолжение 5)

Второй член этого выражения представляет собой **изгибающий момент** от равнодействующей

**распределенной** нагрузки  $q_1$ , действующей на участке  $AE$ . Уравнение  $M_{x_2}$  описывает наклонную прямую линию. Поэтому для построения эпюры достаточно вычислить два значения  $M_{x_2}$ :

$$M_{x_2} = -R_{Ay}x_2 - q_1l_1\left(x_2 - \frac{l_1}{2}\right) + M;$$

$$x'_2 = l_1; \quad M'_{x_2} = -R_{Ay}l_1 - \frac{q_1l_1^2}{2} + M;$$

$$x''_2 = l_1 + l_2; \quad M''_{x_2} = -R_{Ay}(l_1 + l_2) - q_1l_1\left(\frac{l_1}{2} + l_2\right) + M$$

По этим данным построим эпюру  $M_x$  на участке  $BE$ . Определяем **изгибающий момент** в сечении, отстоящем на расстоянии  $x_3$  от **правого** конца балки. Так как **справа** от указанного сечения **внешних силовых факторов меньше, чем слева**, то  $M_{x_3}$  проще вычислить как сумму моментов от сил, расположенных **справа** от сечения:

$$M_{x_3} = -Fx_3 - \frac{q_2x_3^2}{2}; \quad 0 \leq x_3 \leq l_3.$$

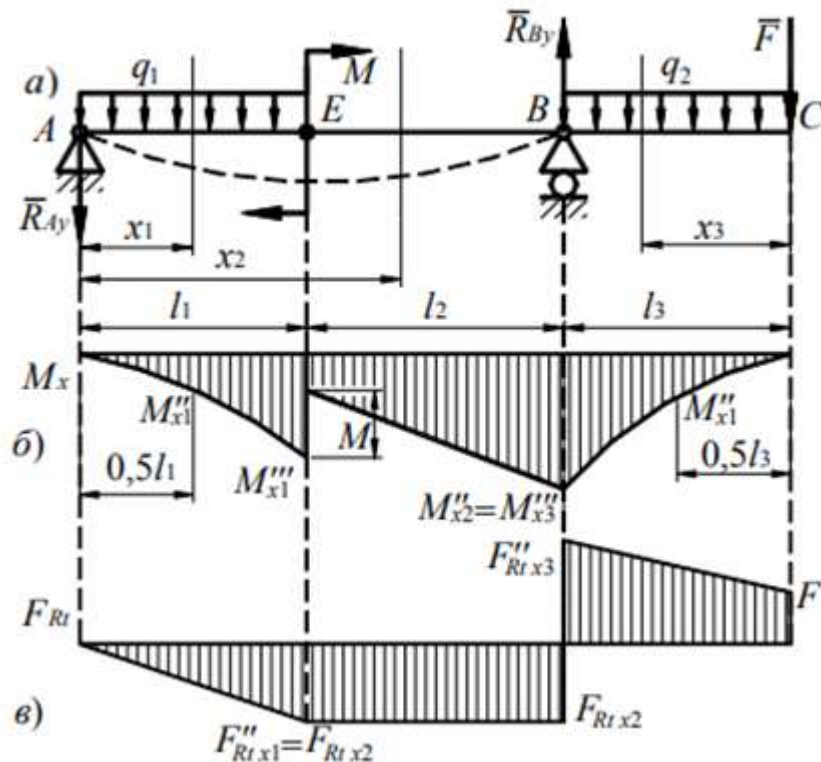


Рис. 3.41. Построение эпюр поперечных сил  $F_{Rt}$  и изгибающих моментов  $M_x$  двухопорной балки

### 3.6.15 Изгиб расчёт (продолжение 6)

**Первый** член в уравнении  $M_{x3}$  представляет собой **изгибающий момент** от силы  $F$ , а **второй** –

$$M_{x3} = -Fx_3 - \frac{q_2 x_3^2}{2}; \quad 0 \leq x_3 \leq l_3.$$

**изгибающий момент** от **распределенной** нагрузки  $q_2$ , действующей **правее** рассматриваемого сечения. Уравнение момента  $M_{x3}$  описывает параболу. Эпюру строим по трем точкам:

$$x'_3 = 0; \quad M_{x'3} = 0;$$

$$x''_3 = l_3/2; \quad M''_{x3} = -\frac{Fl_3}{2} - \frac{q_2 l_3^2}{8};$$

$$x'''_3 = l_3; \quad M'''_{x3} = -Fl_3 - \frac{q_2 l_3^2}{2}.$$

По этим данным строим эпюру  $M_x$  на **участке BC**. Поперечную силу  $F_{Rt}$  определяем, **проектируя на вертикаль** силы, действующие на отсеченную часть:

$$0 \leq x_1 \leq l_1 \quad F_{Rt x1} = -R_{Ay} - q_1 x_1;$$

Уравнение  $F_{Rt x1}$  является уравнением наклонной прямой.

$$x'_1 = 0; \quad F'_{Rt x1} = 0;$$

$$x''_1 = l_1; \quad F''_{Rt x1} = -R_{Ay} - q_1 l_1;$$

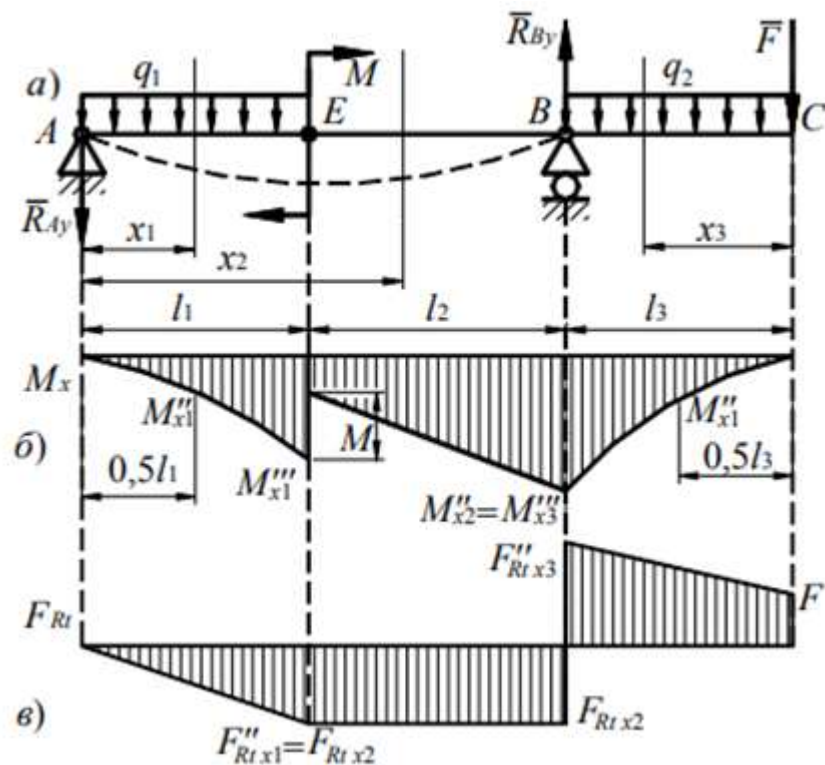


Рис. 3.41. Построение эпюр поперечных сил  $F_{Rt}$  и изгибающих моментов  $M_x$  двухопорной балки

### 3.6.15 Изгиб расчёт (продолжение 7)

Тогда **поперечная сила** в произвольном сечении участка  $EB$ :  $F_{Rt\ x2} = -R_{Ay} - q_1 \cdot l_1$ .  
 Скачки в эюре  $F_{Rt}$  равны по величине приложенным в соответствующих сечениях балки **сосредоточенным силам**  $R_{Ay}$ ,  $R_{By}$ ,  $F$ .

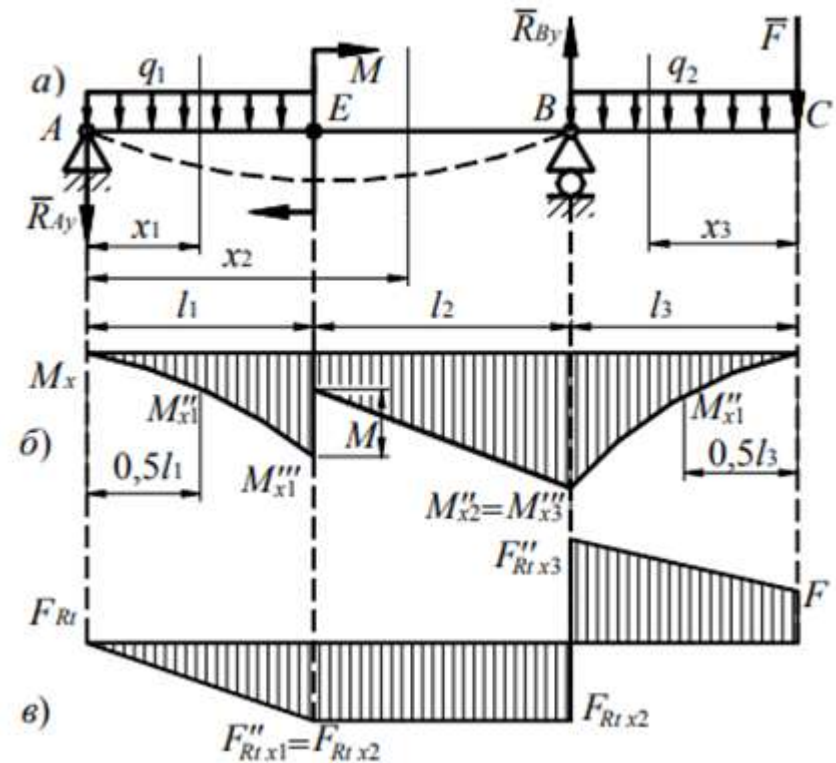


Рис. 3.41. Построение эюр поперечных сил  $F_{Rt}$  и изгибающих моментов  $M_x$  двухопорной балки

## Напряжения при изгибе. Расчеты на прочность

Наибольшую деформацию растяжения (или сжатия) претерпевают **периферийные** слои изгибаемой балки. Очевидно, что эти деформации тем больше, чем больше изгибающий момент. Следовательно, при **изгибе** величина **нормальных напряжений** зависит от величины **изгибающего момента**. Величина же **касательных напряжений** зависит от величины **поперечной силы**.

Изгибающий момент или поперечная сила в любом сечении балки могут быть определены с помощью **эпюр** рассмотренными выше методами.

При расчетах на прочность большое значение имеет распределение **нормальных** и **касательных** напряжений **по сечению**. Длительная практика эксплуатации **изогнутых балок** показывает, что **наиболее опасной**, определяющей работоспособность конструкции, является **точка**, расположенная на **крайних растянутых волокнах**. Лишь в некоторых специфических случаях **касательное напряжение** может оказаться решающим фактором, определяющим прочность изогнутой балки. Тогда производят полный **расчет балки по эквивалентным** напряжениям.

Необходимо установить зависимость между **изгибающим моментом**, действующим в **сечении**, и возникающими при этом **нормальными** напряжениями, а также определим **закон распределения** нормальных напряжений по сечению.

### 3.6.17 Изгиб. ИДЗ-3.3

**Пример 1:** Для заданной схемы стальной балки круглого **постоянного** сечения, нагруженной **распределенной нагрузкой  $q$** , **сосредоточенной силой  $P$**  и **изгибающим моментом  $M$  ( $m$ )**, произвести следующие расчеты:

- 1) определить **реакции в опорах**;
- 2) построить эпюру **поперечных сил**;
- 3) построить эпюру **изгибающих моментов**.

**Таблица 1.** № строки по **последней цифре** зачётки

Номер строки	Схема по рис.1	$P$ , кН	$m$ , кНм	$q$ , кН/м
01	1	3	20	12
02	2	6	20	28
03	3	1	20	12
04	4	3	10	16
05	5	6	10	24
06	6	9	24	20
07	7	8	30	8
08	8	21	30	32
09	9	7	40	36
10	10	18	40	36
11	11	7	10	24
12	12	12	18	2
13	13	11	20	12
14	14	6	20	12
15	15	13	10	24
16	16	21	10	24
17	17	16	10	24
18	18	5	20	12
	б	в	а	г

Номер строки	Схема по рис.1	$P$ , кН	$m$ , кНм	$q$ , кН/м
19	19	21	40	4
20	20	17	20	12
21	21	16	10	16
22	22	6	40	4
23	23	14	30	32
24	24	2	30	32
25	25	2	40	4
26	26	20	21	20
27	27	16	30	8
28	28	18	20	12
29	29	14	22	20
30	30	10	30	8
31	31	4	20	12
32	32	16	30	8
33	33	15	10	16
34	34	4	10	16
35	35	12	40	36
36	36	9	40	4
	б	в	а	г

- 4) указать положение **опасного сечения** (сечение балки с **максимальным моментом**);
- 5) определить **прогиб  $\Delta y$**  балки в **точке приложения силы  $P$** .

Например, **Вариант 2** по **последней цифре** зачётки

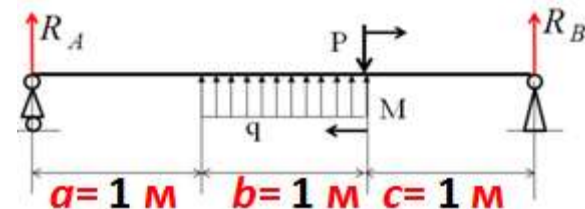
$$q = 3 \text{ кН/м};$$

$$P = 10 \text{ кН};$$

$$M (m) = 25 \text{ кН}\cdot\text{м};$$

$$b = 1 \text{ м} \quad (a = b = c = 1 \text{ м})$$

- *линейные размеры*





### 3.6.17 Изгиб. ИДЗ-3.3 (продолжение 1)

Определение внутренних усилий и перемещений **двухпорных балок**, работающих на поперечный изгиб. Для балки, изображенной на **рис.1**, требуется:

1. построить **эпюры изгибающих моментов** и **поперечных сил  $P$** ;
2. указать **положение опасного сечения** (сечение балки с **максимальным моментом**);
3. определить **прогиб  $\Delta y$**  балки в точке приложения силы  **$P$** .

Данные взять из **табл.1**

**Рис. 1.** Схема нагрузки балки (размеры по порядку слева направо:  **$a, b, в$** )

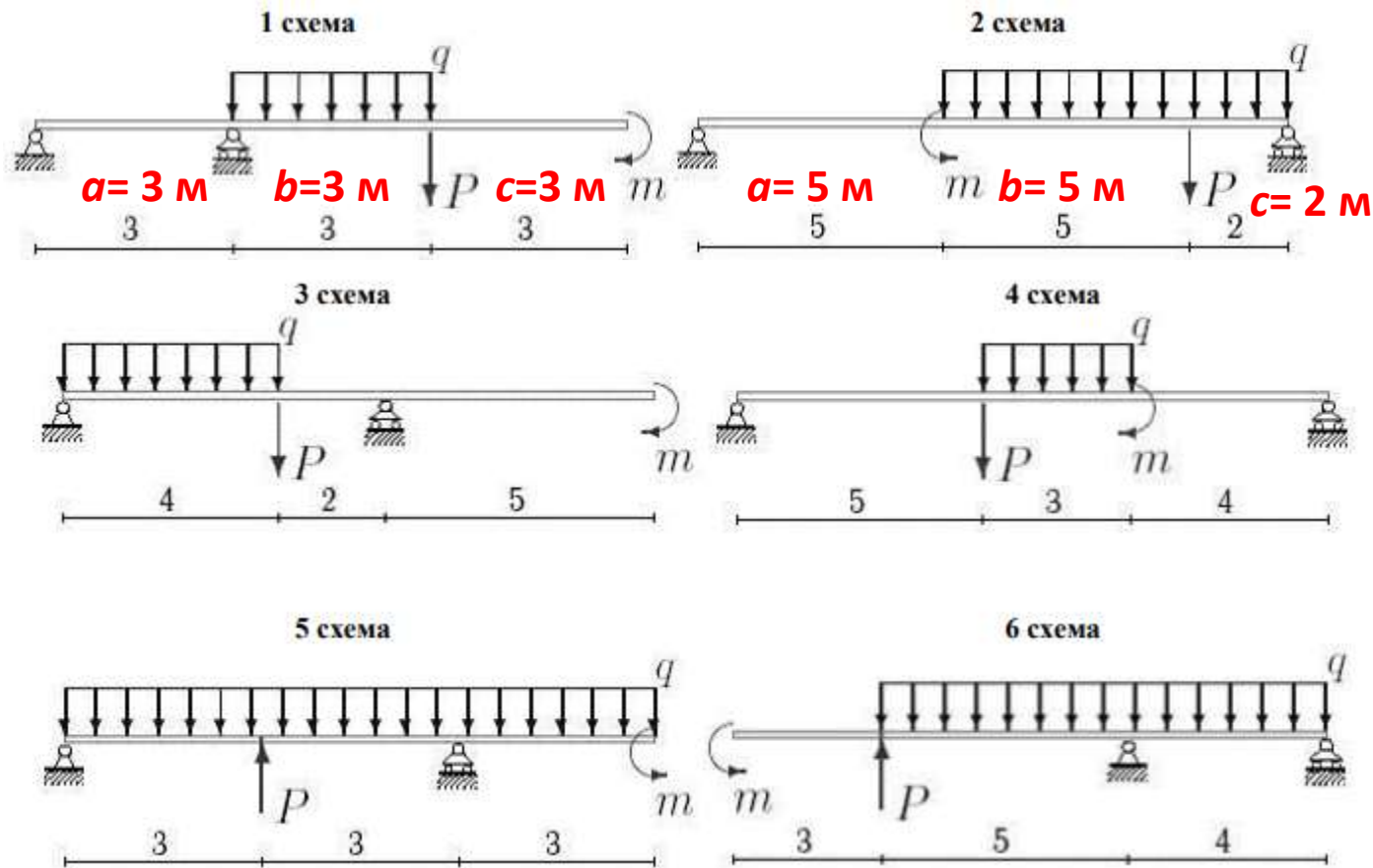
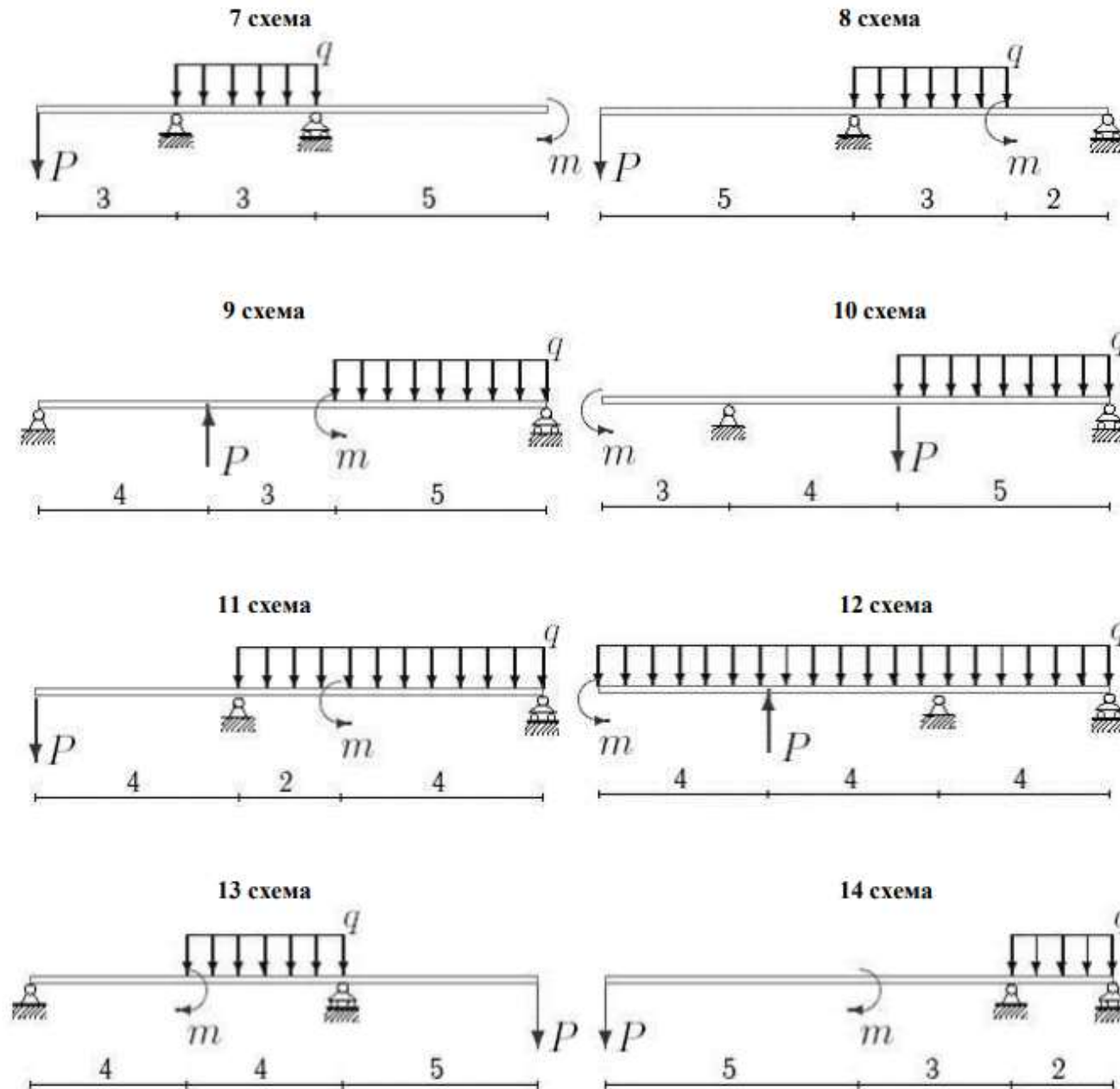


Рис. 1. Схема нагрузки балки (размеры по порядку слева направо: а, б, в)



### 3.6.17 Изгиб. ИДЗ-3.3 (продолжение 3)

Рис. 1. Схема нагрузки балки (размеры по порядку слева направо: *а, б, в*)

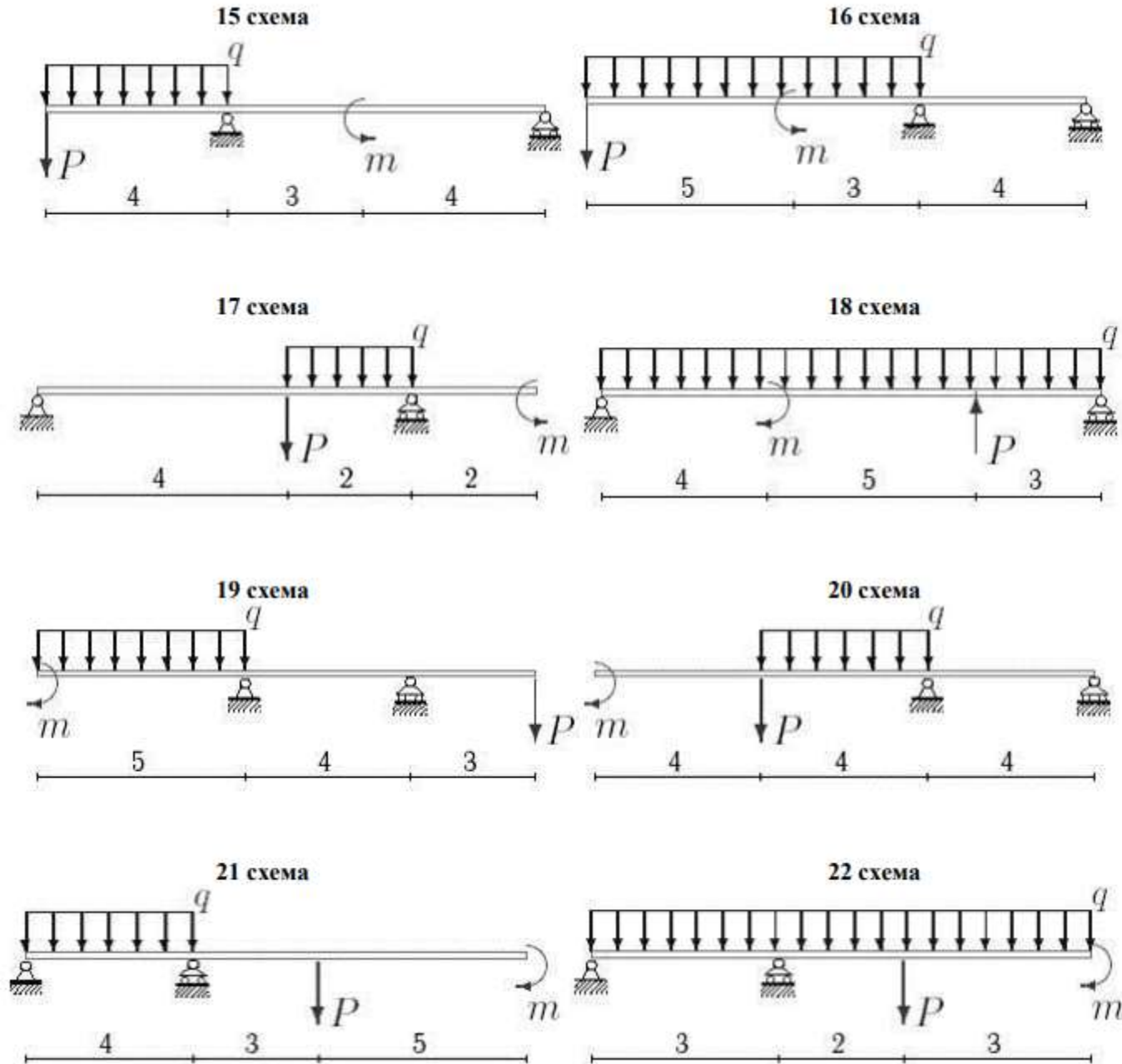


Рис. 1. Схема нагрузки балки (размеры по порядку слева направо: *а, б, в*)

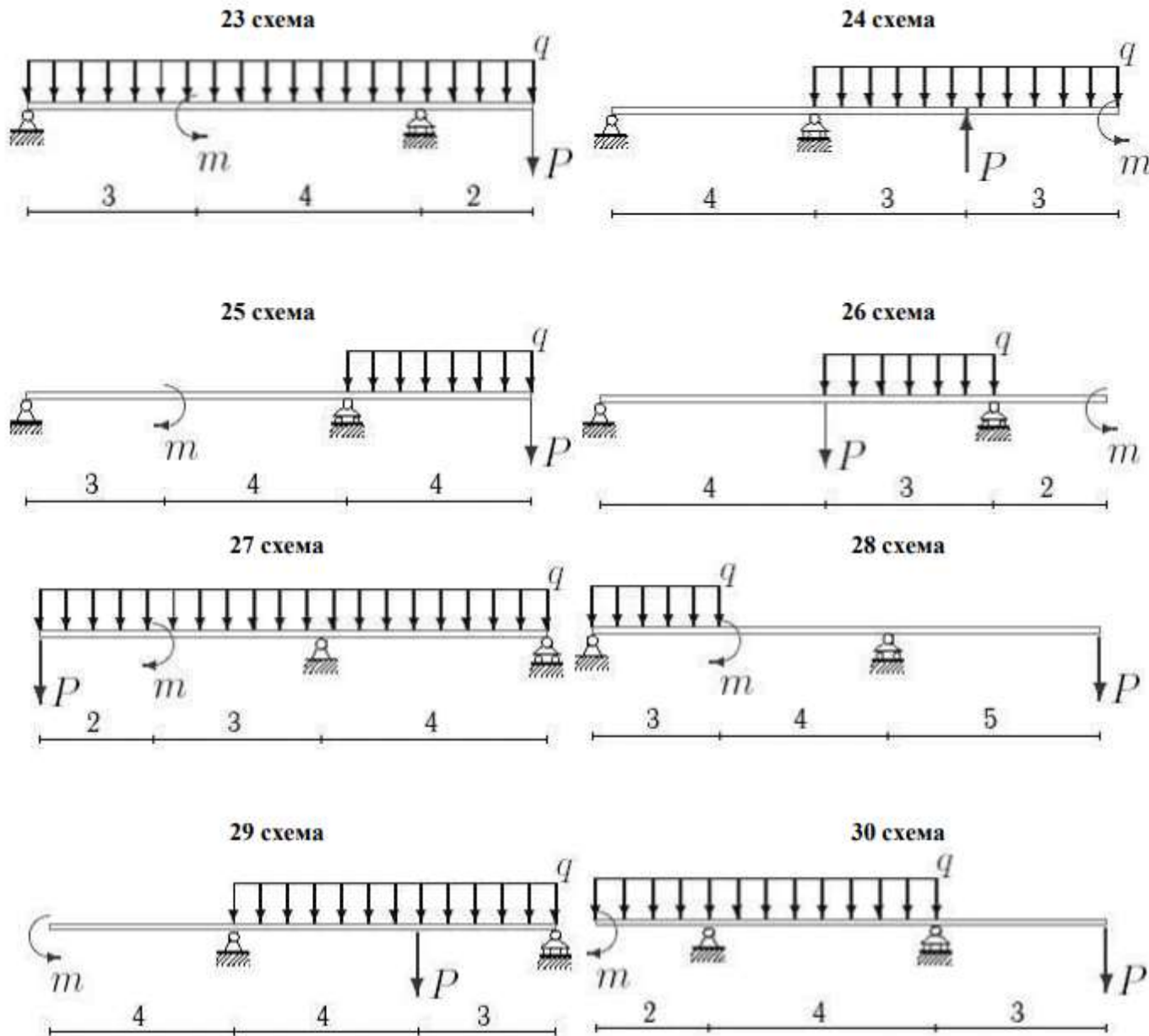


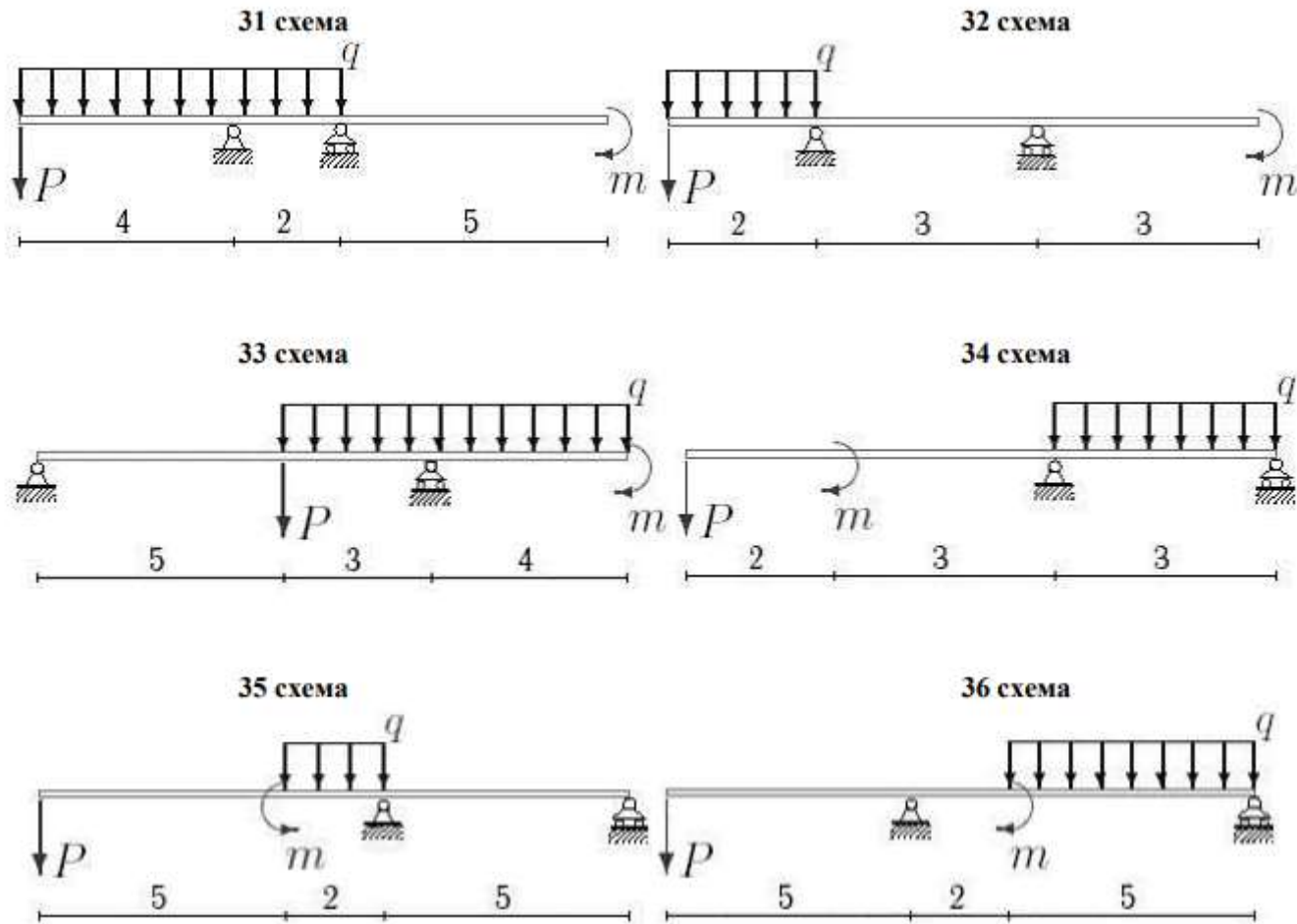
Рис. 1. Схема нагрузки балки (размеры по порядку слева направо: **а, б, в**)

Рис.1

$q=3$  кН/м;  $P=10$  кН;  $M(m)=25$  кН·м;

$2b=1$  м ( $a=b=c=1$  м) - линейные

размеры **3. Второй участок**

1. Определение реакций опор:

$$\begin{cases} R_A + R_B - P + Q = 0 \\ Q \cdot \frac{3b}{2} - P \cdot 2b + R_B \cdot 3b - M = 0 \end{cases}$$

$$Q = q \cdot b = 3 \cdot 1 = 3 \text{ кН}; R_A = -6,5 \text{ кН}; R_B = 13,5 \text{ кН}.$$

2. Первый участок  $0 \leq x \leq b$

$$R_A + N_1 = 0$$

$$M_{1z} + N_1 x = 0$$

$$\underline{N_1} = -R_A = \underline{6,5 \text{ кН}}$$

$$M_{1z} = -N_1 x;$$

$$\underline{M_{1z}(0)} = \underline{0}; \underline{M_{1z}(b)} = -N_1 b = \underline{-6,5 \text{ кНм}}$$

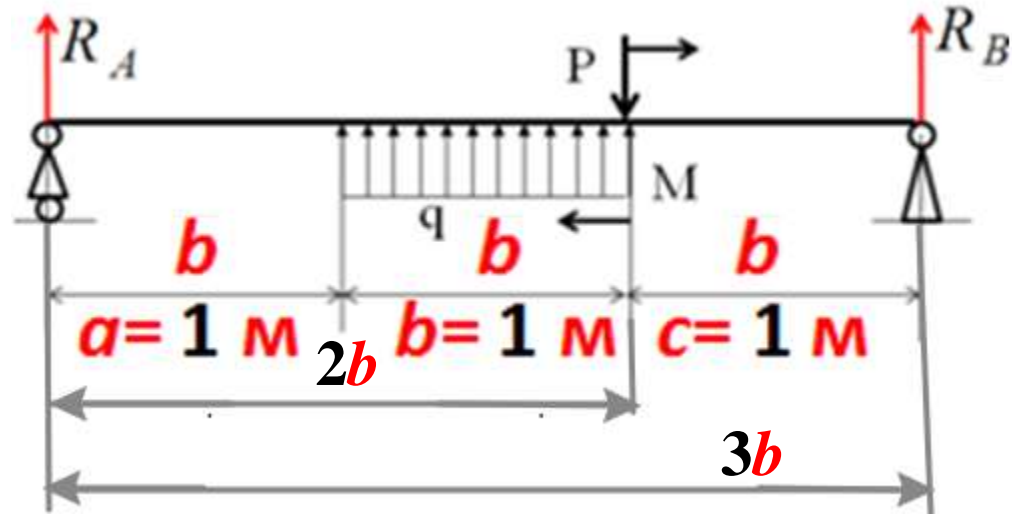


Рис. 3.42. Схема нагрузки двухопорной балки

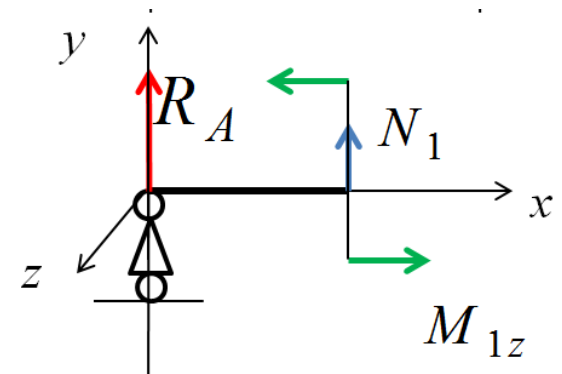


Рис. 3.43. Определение поперечных сил и изгибающих моментов двухопорной балки на первом участке **38**

$q=3$  кН/м;  $P=10$  кН;  $M(m)=25$  кН·м;  $b=1$  м ( $a=b=c=1$  м)

### 3. Второй участок $b \leq x \leq 2b$

$$R_A + N_2 + q(x-b) = 0$$

$$M_{2z} + q(x-b)\left(b + \frac{x-b}{2}\right) + N_2x = 0$$

$$N_2 = -R_A - q(x-b);$$

$$R_A = -6,5 \text{ кН}; \quad Q = q \cdot b = 3 \cdot 1 = 3 \text{ кН};$$

$$N_2(b) = -R_A = 6,5 \text{ кН};$$

$$N_2(2b) = -R_A - qb = 3,5 \text{ кН}$$

$$M_{2z} = -q(x-b)\left(b + \frac{x-b}{2}\right) - N_2x;$$

$$M_{2z}(b) = -N_2(b)b = -6,5 \text{ кНм}$$

$$M_{2z}(2b) = -q \frac{3b^2}{2} - 2bN_2(2b) = -11,5 \text{ кНм}$$

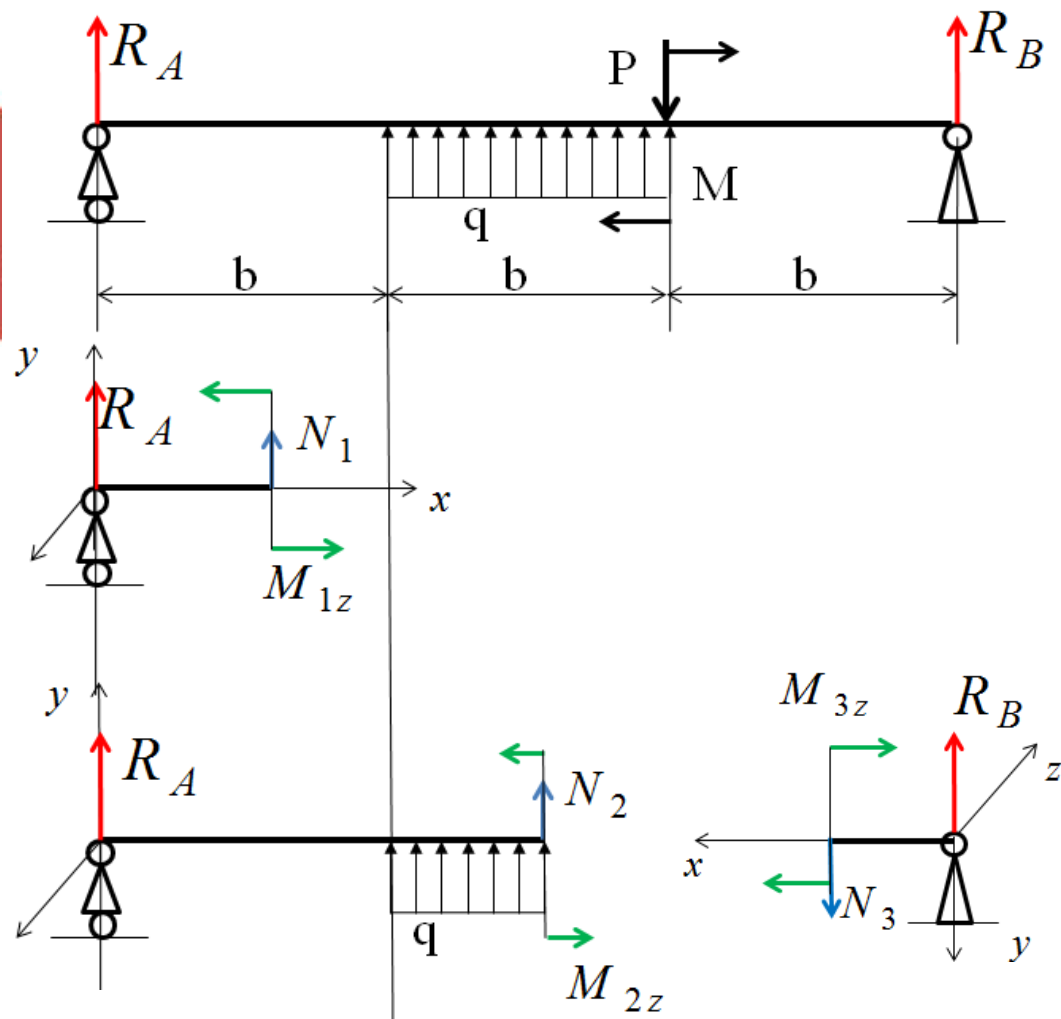


Рис. 3.44. Определение реакций двухопорной балки

$q=3$  кН/м;  $P=10$  кН;  $M(m)=25$  кН·м;  $b=1$  м ( $a=b=c=1$  м)

4) Третий участок (правый):

$$0 \leq x \leq b$$

$$N_3 - R_B = 0;$$

$$R_B = 13,5 \text{ кН.}$$

$$N_3 = 13,5 \text{ кН}$$

$$M_{3z} - N_3 x = 0;$$

$$M_{3z} = N_3 x;$$

$$M_{3z}(0) = 0;$$

$$M_{3z}(b) = R_B b = 13,5 \text{ кНм}$$

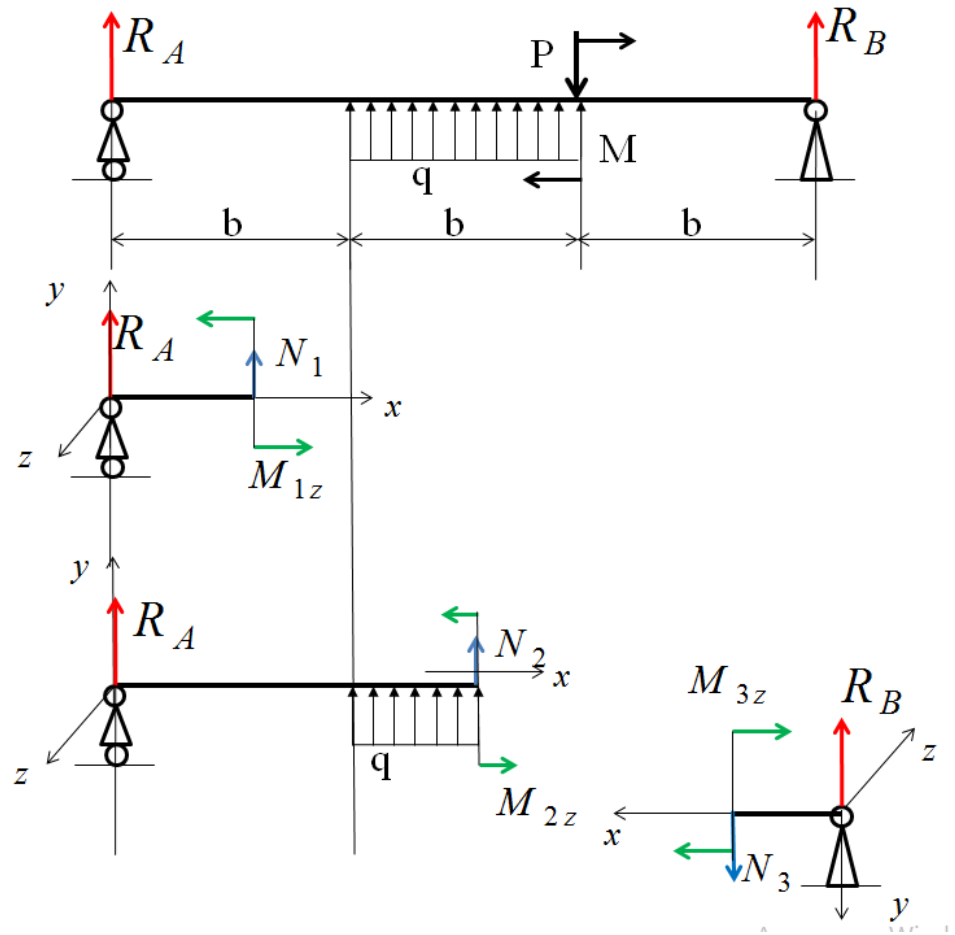


Рис. 3.45. Определение реакций двухопорной балки



### 3.6.17 Изгиб. ИДЗ-3.3 (продолжение 9)

$q=3$  кН/м;  $P=10$  кН;  $M(m)=25$  кН·м;  $b=1$  м ( $a=b=c=1$  м)

**Рис. 3.46.** Эпюры поперечных сил и изгибающих моментов в двухопорной балке

$$N_1 = -R_A = 6,5 \text{ кН}$$

$$N_2(b) = -R_A = 6,5 \text{ кН};$$

$$N_2(2b) = -R_A - qb = 3,5 \text{ кН}$$

**Третий** участок  
(**правый**):

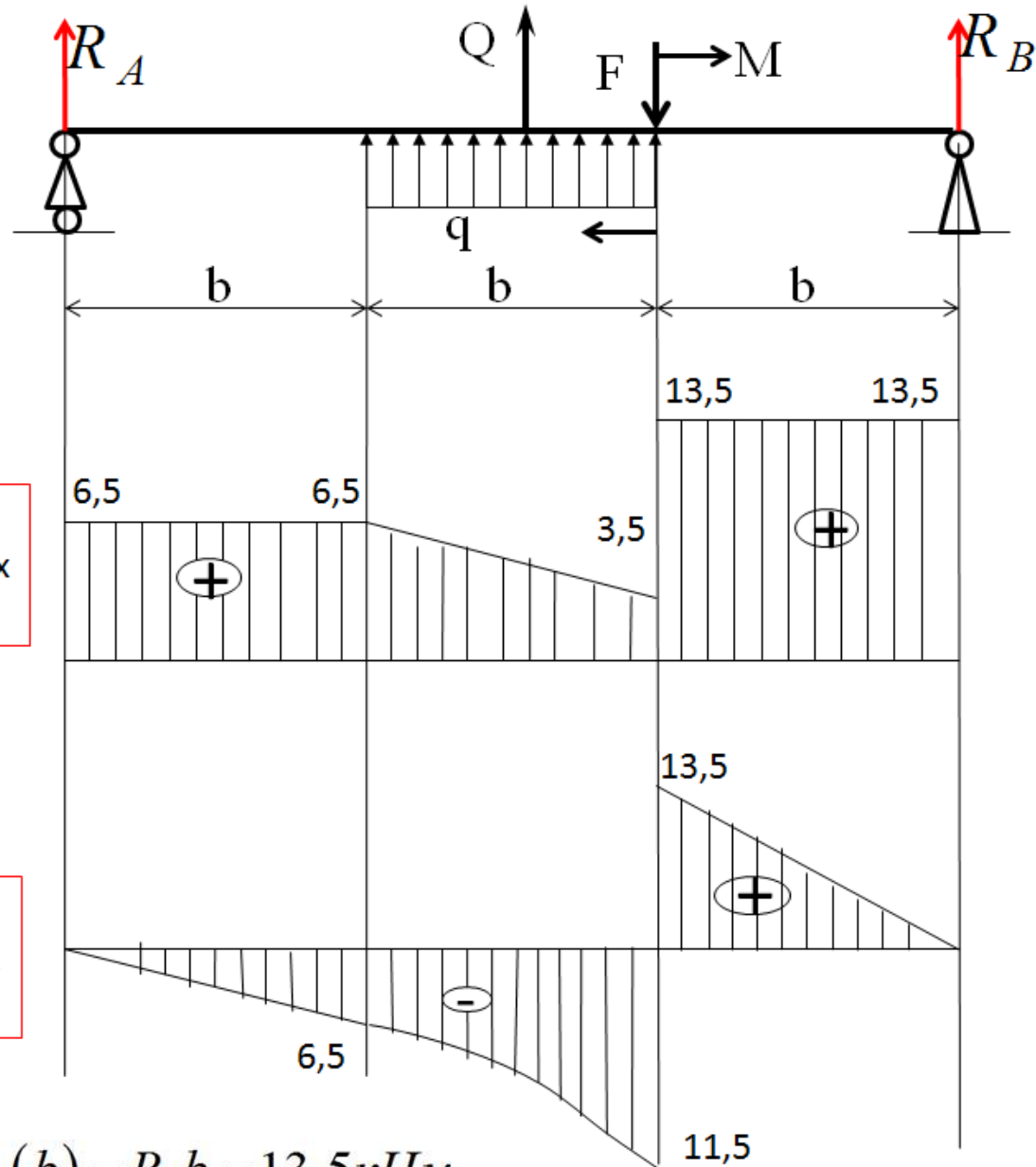
$$N_3 = 13,5 \text{ кН}$$

$$M_{1z}(0) = 0;$$

$$M_{1z}(b) = -N_1 b = -6,5 \text{ кНм}$$

$$M_{2z}(2b) = -q \frac{3b^2}{2} - 2bN_2(2b) = -11,5 \text{ кНм}$$

**Правый** участок:  $M_{3z}(0) = 0$ ;  $M_{3z}(b) = R_B b = 13,5 \text{ кНм}$



Эпюра поперечных сил

Эпюра изгибающих моментов

Завершить **самостоятельно**:

2. указать **положение опасного сечения** (сечение балки с **максимальным моментом**);
3. определить **прогиб  $\Delta y$**  балки в точке приложения силы  **$P$**  (**диаметр** балки задать **самостоятельно**).
4. Определить **наибольшие напряжения** в опасном сечении и **оценить прочность** балки в этом месте.

*КОНТРОЛЬНЫЕ ВОПРОСЫ:*

1. Приведите технические примеры деформаций изгиба
2. Как рассчитать реакции опор составной балки?
3. Прокомментируйте суть метода сечений при изгибе.
4. Какие выводы можно сделать из эпюр поперечных сил и изгибающих моментов?

1. Гурин В.В., Замятин В.М., Попов А.М. Механика: учебник. – Томский политехнический университет. – Томск: Издательство ТПУ, 2012. – 669 с.

**С. 176-187.**



### 3.6.18 Сложное напряжённо-деформированное состояние

